

Pg - P

$Pb(Pb_3)_2$  (x)  
 $(T_m)$

497-1

4391-IV-ГКВ

Пакорев Б.С.

Температура плавления метафосфата свинца,  
1 с.

ЗРВО·Р205-(к)

2677

( $T_{L_2}$ ,  $T_m$ )

4394-IV-РХВ

Пакорев Б.С.

Температуры плавления и фазового перехода  
ортофосфата свинца, 1 с.

$Pb_3P_4O_{13}$  (X)

1971

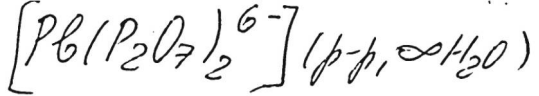
( $T_m$ )

4395<sup>9</sup>-IV-7KB

Покорев Б.С.

Температура плавления тетрафосфата свинца,

1 °C.



~~1977~~

(sfH)

4392-IV-7KB

Поленова Н.В.

Стандартная энталпия образования пирофосфатного комплекса свинца,  
, 3 с.

$Pb(P_2O_7)^{6-}$  (р-р,  $\infty H_2O$ )

1977

(af 6, S)

43.92-a IV-ТКВ

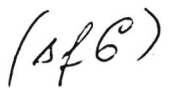
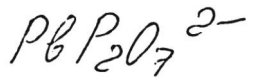
Поженова Н.В.

Стандартный изобарный потенциал образования  
цирофосфатных комплексов свинца  $Pb(P_2O_7)^{2-}$

$Pb(P_2O_7)^{6-}$ . Стандартная энтропия комплекса

$Pb(P_2O_7)^{6-}$  в водном

растворе, ? С.

~~1971~~

4392<sup>a</sup>-IV ПКВ

Поленова Н.В.

Стандартный изобарный потенциал образования  
пироfosfатных комплексов свинца  $Pb(P_2O_7)^{2-}$  и  
 $Pb(P_2O_7)^{6-}$ . Стандартная энтропия комплекса  
 $Pb(P_2O_7)^{6-}$  в водном  растворе, 7 с.

$Pb_3(PD_4)_2$  (x)  
(период. ф.)

1978

4394-IV-ГКВ

Резницкий Л.А.

Теплоемкость, тепло содержание и энтропия  
фосфата свинца, 1 с.

3РВ7. Р7<sub>3</sub>. 12Н<sub>2</sub>О (х)  
(SFH)

4387-IV-7ХВ

Тимофеев Б.И.

Темпомты образования / 10 соединений, 8 с.

~~3РВ7. Р7(к)~~  
~~(д/к)~~

~~4387-IV-7КВ~~

Тимофеев Б.И.

Теплоты образования 10 соединений, 8 с.

*РВНРР<sub>3</sub>(x)*

*4977*

*(sfH)*

*4398-IV-ГИВ*

Видавский Л.М.

Теплота образования фосфита свинца, 4 с.

1878

7460

Carnelley

2. J. Chem. Soc. 33, 273 (1878)

 $\text{PbCl}_2$ ,  $\text{Pb}(\text{PO}_3)_2$  (Tm) $\text{Pb}_2\text{O}_6$ 

Be

1891

7158

Amat

1. Ann. chim. phys. 24, 289 ( 1891)

PbHPO<sub>3</sub>, kp, Hf<sup>O</sup>

III

1897

8470

$\text{SnI}_2$ ,  $3\text{PbI}_2 \cdot 4\text{NH}_4\text{I}$ ,  $3\text{PbI}_2 \cdot 4\text{NH}_4\text{I} \cdot 6\text{H}_2\text{O}$ ,  
 $3\text{PbI}_2 \cdot \text{PI}_3$ ,  $3\text{PbI}_2 \cdot \text{PI}_3 \cdot 12\text{H}_2\text{O}$ ,  $3\text{PbI}_2 \cdot \text{AsI}_3$ ,  
 $3\text{PbI}_2 \cdot \text{AsI}_3 \cdot 12\text{H}_2\text{O}$ ,  $3\text{PbI}_2 \cdot \text{SbI}_3$ ,  $3\text{PbI}_2 \cdot \text{SbI}_3 \cdot 12\text{H}_2\text{O}$  (cr) ( $\text{Hf}^{\circ}$ )

Mosnier A.

1. Ann. chim. phys., 1897, 12, 374-426

M, W

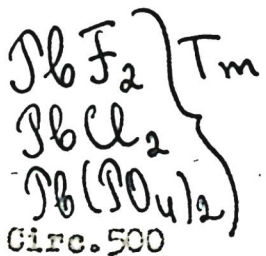
 $\text{Pb}_3\text{PI}_9$

7189

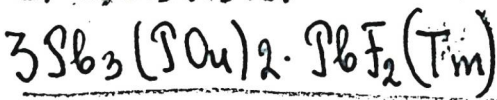
1918

Amadori

18. Atti accad. nazl. Lincoi. Classe sci.  
fis. mat. e nat. 27 I, 143 (1918)



Be



7134

1919

$\text{PbF}_2$ ,  $\text{PbCl}_2$ ,  $\text{Pb} \cdot \text{Pb}_3(\text{PO}_4)_2$ ,  $5\text{PbO} \cdot \text{Pb}_3(\text{PO}_4)_2$ ,  
 $\underline{3\text{Pb}_3(\text{PO}_4)_2 \cdot \text{PbCl}_2}$ ,  $\text{Pb}_3(\text{AsO}_4)_2$ ,  $5\text{PbO} \cdot \text{Pb}_3(\text{AsO}_4)_2$   
 $3\text{Pb}_3(\text{AsO}_4)_2 \cdot \text{PbF}_2$ ,  $3\text{Pb}_3(\text{AsO}_4)_2 \cdot \text{PbCl}_2$  (Tm-)

Amadori

14. Gazz. chim. ital. 49 1, 38 (1919)

Circ. 500

5

 $\text{Pb}_{10}\text{P}_6\text{Cl}_2\text{O}_{24}$

1933

8513

$\text{VOSO}_4$  (P, Hf ),  $\text{Pb}(\text{NO}_3)_2$  p-p H,

$4\text{PbO} \cdot 2\text{Pb}(\text{NO}_3)_2$ ,  $5\text{PbP} \cdot \text{Pb}(\text{NO}_3)_2$  (Hf )

Neumann B., Sonntag A.

Z. Elektrochem. 1933, 39, 799-806  
"Decomposition pressure of ..."

w, M

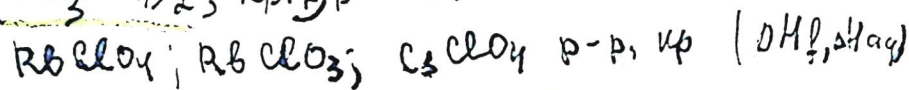
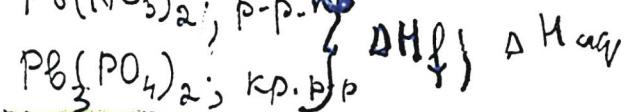
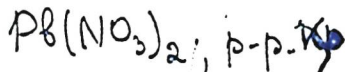


1938

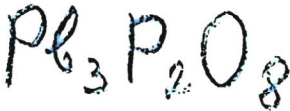
8632

Pitzer V. S.

A.J.Am.Chem.Soc.60, 1828 (1938)



Circ. 500



$\text{Pb}_3(\text{PO}_4)_2$ ;  $\text{BaF}_2$ ;  $\text{CsClO}_4$  (Cp.;  $S^0_{298}$ ) 1958

6871

Pitzer, K.S., Smith, W.V., Eisinger, W.M.  
J. Am. Chem. Soc. 80, 60, 1926 (1958)

PP-1563-X

Circ. 500

5



1957

9377

PbHPO<sub>4</sub>

( Пр )

Жаровский Ф.Г.

Труды Комиссии аналит. химии  
АН СССР, 1951, 3, 101-15,

Растворимость фосфатов...

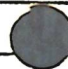
М

Pb<sub>2</sub>(PO<sub>3</sub>)<sub>2</sub> BP-5161-*v* 1953.

И. Н. Борисов, А. И. Коганов  
М. И. Молокович.

(Tm)

М. приз. Женев, 1953,  
XXVII, том 8, 1157-1162



$Pb_3P_4O_{13}$

$Pb_2P_4O_{12}$

(Tm) Z. Phys. Chem., 1955,  
59 n1, 76-80.

Bsp-1519-IX 1955.

Osterheld R

Langguth R.

Pb<sub>3</sub>(PO<sub>4</sub>)<sub>2</sub>

BdO-6932-IV

1956

Paetsch H.H., Dietzel A.

T<sub>r</sub>

Glastechn. Ber., 1956, 29,  
Nº 9, 345-356

$Pb(P_2O_7)_2^{6-}$  BP-6870-IV 1956

(K<sub>2</sub>, AlF<sub>3</sub>, Si, S)  
discrepans k  
Baeselgeb B.

H. epiz. ziricite

1956, 30, 901-981.

PB - фосфаты

Bp-2251-III

1957.

Thilo E; Grunze J.

"Z. anorg. allg. Chem"

1957, 290, 223-237.

1967

 $Pb_8(PO_4)_5$ 

13 Б449. О соединении  $Pb_8(PO_4)_5J$  со структурой эвлитина. Mergler L., Wondratschek H. Über eine Verbindung  $Pb_8(PO_4)_5J$  mit Eulytin—Struktur. «Z. Kristallogr.», 1967, 125, 266—271 (нем.; рез. англ.)

Проведены синтез и предварительное рентгенографическое исследование (методы порошка, прецессии и Вейссенберга) нового соединения  $Pb_8(PO_4)_5J$  (I). Кристаллы устойчивы при обычной атмосфере, не растворяются в воде и разлагаются в неорг. к-тах. Параметры кубич. решетки:  $a = 10,39$ , Å,  $\rho$  (эксп.) 6,69,  $\rho$  (выч.) 6,70,  $Z = 2$ , ф. гр.  $I\bar{4}3d$ . Установлено, что I изоструктурен с силикатом эвлитином,  $Bi_4(SiO_4)_3$  (II). Из хим. состава и кубич. симметрии обоих соединений следует, что в I ионы  $(PO_4)^3-$  и  $J^-$  распределены статистически в позициях, занимаемых ионами  $(SiO_4)^4-$  в структуре II. Для подтверждения сделанного вывода предпринимается полное исследование структур I и II. А. А. Воронков

Х. 1968. 13

XIV - 9868

1968

Pb(P<sub>2</sub>O<sub>7</sub>)<sup>2-</sup>

Pb(P<sub>2</sub>O<sub>7</sub>)<sup>6-</sup>

$K_{C125}$ .

7077j Complex stability constants for lead and zinc pyrophosphates. Costley, B. D.; Farr, J. P. G. (Univ. Birmingham, Birmingham, Engl.). *Chem. Ind. (London)* 1968, (42), 1435-7 (Eng). The complexes Pb(P<sub>2</sub>O<sub>7</sub>)<sup>2-</sup> and Pb(P<sub>2</sub>O<sub>7</sub>)<sup>6-</sup> were formed by complexing between Na and pyrophosphate and Pb and nitrate at controlled ionic strengths in a NaNO<sub>3</sub> electrolyte and the stability consts. of the 2 complexes  $\beta_1$  and  $\beta_2$  were detd. by measuring the emf. values of concn. cells. Conductance titrns. were carried out by using solns. contg.  $5 \times 10^{-4} M$  metal ions and from  $2 \times 10^{-4}$  to  $10^{-1} M$  Na pyrophosphate with a 0.1% gelatin, and enough NaNO<sub>3</sub> to give an ionic strength of 1. The half-cell potentials were sep. measured. The following stability consts. and stepwise formation consts.  $K_2$  were calcd. from the results, (metal, medium, log  $\beta_1$ , log  $\beta_2$ , and  $K_2$  given): Pb, nitrate, 6.4, 9.4, 3; Pb, perchlorate, 7.3, 10.15, 2.9; Zn, nitrate, 5.1, 7.19, 2.11. The pK<sub>a</sub> values for pyrophosphoric acid in nitrate and perchlorate media were 7.45 and 6.96, resp.

FSJN

C.A. 1969. 70. 2

1968

Pb-фосфатытормоз  
разложение

22 В13. Получение октаметафосфатов  $M_8^+(P_8O_{24})$ .  
Schüle U. Darstellung von Oktametaphosphaten,  
 $M_8^+(P_8O_{24})$ . «Angew. Chem.», 1968, 80, № 2, 80—81 (нем.)

Методами БХ и ДТА исследовано разложение  $Pb_2[P_4O_{12}] \cdot 4H_2O$  (I) при нагревании до 350°. Установлено, что вначале образуется  $Pb_2[P_4O_{12}] \cdot 2H_2O$ , затем анион  $[P_4O_{12}]^{4-}$  гидролитически расщепляется на моно-, ди- и трифосфаты  $Pb(2+)$ , и наконец, происходит конденсация продуктов гидролиза с образованием высокомолекулярного кристаллич. полифосфата  $Pb$  (выход 30%) и безводн. кристаллич. тетраметафосфата  $Pb$ , к-рый переходит в  $Pb_4[P_8O_{24}]$  (II), выход 70%. Если нагревание проводить в присутствии  $Na_2S$  (или  $Na_2CO_3$ ), то из смеси можно выделить  $Na_8[P_8O_{24}] \cdot 6H_2O$ . Аналогично получены K-, Ag- и Ca-соли. Циклич. природа аниона  $[P_8O_{24}]^{8-}$  подтверждена хим. анализом, к-тио-основным титрованием, ионным обменом (на смоле в  $H^+$ -форме), снятием спектра ЯМР  $P^{31}$  и методом БХ.

Т. Б. Ильина

2. 1968.

22

Pb<sub>3</sub>(PO<sub>4</sub>)<sub>2</sub>

1970

15 Б309. Структура низкотемпературной формы фосфата свинца Pb<sub>3</sub>(PO<sub>4</sub>)<sub>2</sub>. Kepler Ulrich. Die Struktur der Tieftemperaturform des Bleiphosphates, Pb<sub>3</sub>(PO<sub>4</sub>)<sub>2</sub>. «Z. Kristallogr.», 1970, 132, № 3, 228—235 (нем.; рез. англ.)

Рентгенографически (методы порошка, прецессии и Вейсенберга,  $\lambda$ Cu) изучены 2 полиморфные модификации Pb<sub>3</sub>(PO<sub>4</sub>)<sub>2</sub> — низкот-рная (I), устойчивая при т-рах до 171,5°, и высокот-рная (II), устойчивая при более высоких т-рах (съемка II при т-ре 200° в атмосфере N<sub>2</sub>). Параметры решеток: I монокл.  $a$  13,816,  $b$  5,692,  $c$  9,429 Å,  $\beta$  102,36°,  $\rho$ (эксп.) 7,38,  $\rho$ (выч.) 7,45,  $Z=4$ , ф. гр. C2/c; II ромбоэдрич.,  $a$  7,48 Å,  $\alpha$  43,4°,  $\rho$ (выч.) 7,53,  $Z=1$ , ф. гр. R3m. Для II подтверждена изоструктурность с Ba<sub>3</sub>(PO<sub>4</sub>)<sub>2</sub> и Sr<sub>3</sub>(PO<sub>4</sub>)<sub>2</sub>. Определение и уточнение ранее неизвестной структуры I выполнено до  $R=8,8\%$  (637 отражений, изотропное приближение). На элементарную

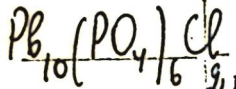
стру-ра

Х-1971-15

Б92

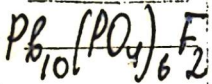
ячейку I приходится 2 слоя, параллельных (100) и проходящих на уровнях:  $x=0$  и  $1/2$ . Атомы Pb, располагающиеся в серединах слоев находятся в октаэдрическом окружении из атомов O ( $Pb-O$  2,62) и также в гексагональном окружении лежащих с ними в одной плоскости атомов O, не входящих одинаково, как в структуре II, в первую координатную сферу Pb ( $Pb-O$  3,07; 3,52). Другой кристаллографически независимый атом Pb находится в окружении из 10 атомов O ( $Pb-O$  2,43—3,38). Слоистый характер структуры I хорошо объясняет спайность кристаллов. Сравнительный анализ структур I и II выявил их сходство, которое нарушается главным образом за счет смещения в I атомов Pb на 0,56 Å в направлении ccc с по сравнению с их положением в II, а также смещением тетраэдротов в направлении, перпендикулярном слоям на 0,72 Å.

С. В. Рыкова



XIV-4129

1971



30229t Synthesis, x-ray, and infrared studies of lead phosphates. Bhatnagar, Vijay M. (Fac. Sci. Toulouse, Toulouse, Fr.). *Rev. Roum. Chim.* 1971, 16(10), 1513-28 (Eng). Pb phosphate, Pb hydroxyapatite, Pb fluorapatite, and Pb chlorapatite were prepd. from aq. solns. by various methods.  $\text{Pb}_{10}(\text{PO}_4)_6\text{F}_2$  and  $\text{Pb}_{10}(\text{PO}_4)_6\text{Cl}_2$  were best prepd. by sintering  $\text{Pb}_9(\text{PO}_4)_6$  and  $\text{PbX}_2$  ( $X = \text{F}, \text{Cl}$ ) in a 1:1 ratio at 300° in Pt boats. The x-ray powder diffraction patterns showed that the water stable compds. have the apatite structure; there is a slight tendency for the unit cell vol. to shrink as the Pb/P ratio decreases. For  $\text{Pb}_{10}(\text{PO}_4)_6\text{F}_2$ ,  $a$  9.79 and  $c$  7.30 Å; and for  $\text{Pb}_{10}(\text{PO}_4)_6\text{Cl}_2$ ,  $a$  9.97 and  $c$  7.32 Å. The ir spectra and the m.ps. of the prepd. apatites are given.

Tm

C.A. 1972. 76-6

1941

XIV-4129

Pb(PO<sub>4</sub>)<sub>6</sub>

9 В23. Синтез, рентгенографическое и ИК-спектроподобное изучение фосфатов свинца. Bhatnagar Vijay Mohan. Synthesis, X-ray and infrared studies of lead phosphates. «Rev. roum. chim.», 1971, 16, № 10, 1513—1528 (англ.)

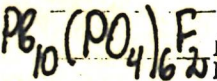
Взаимодействием воды. р-ров Pb(MeCOO)<sub>2</sub> (I) с N<sub>2</sub>HPO<sub>4</sub> (II) при различных условиях получен Pb<sub>9</sub>(PO<sub>4</sub>)<sub>6</sub> (III). Аналогично, но с применением K<sub>2</sub>HPO<sub>4</sub> выделен Pb<sub>10</sub>(OH)<sub>2</sub>(PO<sub>4</sub>)<sub>6</sub> (IV). При смешении I, II и PbX<sub>2</sub> в воде. р-ре выделены Pb<sub>10</sub>X<sub>2</sub>(PO<sub>4</sub>)<sub>6</sub>, где X=Cl (V) или F (VI). V и VI могут быть получены также спеканием III с PbX<sub>2</sub> в мол. отношении 1:1 при 300°. III—VI относятся к гексагон. сингонии и имеют струк-

РМХ, 1972, № 9

туру типа апатита. Приведены значения параметров решеток III—VI в зависимости от условий получения. Показано, что в отличие от Ca-апатитов параметр решетки  $c$  увеличивается в ряду III<VI<V<IV, а параметр  $a$  имеет максим. значение для V. Установлено также, что III образует с V и VI непрерывный ряд тв. р-ров, III нер-рим в  $H_2O$ , EtOH, эфире  $C_6H_6$ , MeCOOH, мало р-рим в HCl и  $HNO_3$ . Т. пл. III 1019; IV 1000; V 1005; VI 1021°. ИК-спектроскопич. исследованиями подтверждена изоструктурность III—VI; установлено отсутствие OH-групп в III; ион  $PO_4$  в III—VI имеет симметрию  $C_s$ .

М. Б. Варфоломеев

БР - XII - 452 1971



13B15. «Фтороапатит» свинца, Pb<sub>10</sub>(PO<sub>4</sub>)<sub>6</sub>F<sub>2</sub>.  
Bhatnagar Vijay Mohan. Lead fluorapatite,  
Pb<sub>10</sub>(PO<sub>4</sub>)<sub>6</sub>F<sub>2</sub>. «Mater. Res. Bull.», 1971, 6, № 1, 1—3  
(англ.).

Реакцией воды с р-ров (NH<sub>4</sub>)<sub>2</sub>HPO<sub>4</sub>, NH<sub>4</sub>F и Pb(OAc)<sub>2</sub>  
получен Pb<sub>10</sub>(PO<sub>4</sub>)<sub>6</sub>F<sub>2</sub> (I), слабо растворимый в HNO<sub>3</sub>. I  
плавится инконгруэнтио при 1021°, в ИК-спектре в-ва  
наблюдаются поглощения иона PO<sub>4</sub><sup>3-</sup>. Приведены d и  
I рентгенограммы порошка I; a 9,78, c 7,30 Å.

T<sub>m</sub>

И. В. Никитин

X. 1971. 13

Pb<sub>5</sub>P<sub>4</sub>O<sub>15</sub>

2 E'701. Выращивание монокристаллов и свойства  
фосфата свинца Pb<sub>5</sub>P<sub>4</sub>O<sub>15</sub>. В г i х п е г L. H., В i e g-  
s t e d t P. E., F o r i s C. M. Crystal growth and proper-  
ties of the lead phosphate Pb<sub>5</sub>P<sub>4</sub>O<sub>15</sub>. «Mater. Res. Bull.»,  
1972, 7, № 9, 883—889 (англ.)

1972

насадка.  
решетки

Монокристаллы фосфата свинца Pb<sub>5</sub>P<sub>4</sub>O<sub>15</sub> выращива-  
лись методом Чохральского. Соединение предварительно  
синтезировали из PbCO<sub>3</sub> и (NH<sub>3</sub>)H<sub>2</sub>PO<sub>3</sub> путем двукрат-  
ного обжига при 300 и 700° С. Определена т-ра плав-  
ления Pb<sub>5</sub>P<sub>4</sub>O<sub>15</sub> ≈ 920° С. Затравкой служила платино-  
вая проволока, вращающаяся со скоростью 10 об/мин..  
Скорость вытягивания кристаллов составляла 0,5—  
0,8 см/ч. По окончании процесса выращивания кристал-  
лы охлаждались со скоростью 40 град/ч. На этой стадии  
прозрачные, бесцветные кристаллич. були довольно-  
часто растрескивались на мелкие фрагменты. С по-  
мощью рентгенографич. методов определена простран-  
ственная группа Pb<sub>5</sub>P<sub>4</sub>O<sub>15</sub>: P2<sub>1</sub>/C, параметры кристаллич.  
решетки  $a=12,405$ ,  $b=18,441$ ,  $c=24,752$  Å,  $\beta=92,26^\circ$ .

ВР - 4368-XIV

сп2Е.ф2-73-2

(дн. 40.00)

Диэлектрич. исследования кристаллов проводились в температурном интервале 25—300° С на частоте 10<sup>3</sup> Гц в направлении <010>. При комнатной т-ре величина диэлектрич. проницаемости составляла 30, а величина тангенса угла диэлектрич. потерь 0,001. С увеличением т-ры оба параметра монотонно возрастали до т-ры 250° С, при которой наблюдалась их резкая аномалия. Такое поведение объясняется структурным фазовым переходом в Pb<sub>5</sub>P<sub>4</sub>O<sub>15</sub> при 250° С. В. Д. Сальников

а.п.

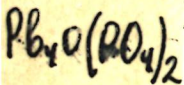
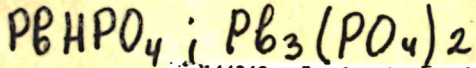
Pb(Po<sub>3</sub>)<sub>2</sub>

BQ-4100-IX  
längt d.

1972

C. T. Acad Sci., 1972,  
(Tm; Ttr) C275 n.20, 1197-200.

1972.



ΔG° f

144342a Lead orthophosphates. I. Solubility and hydrolysis of secondary lead orthophosphate. Nriagu, Jerome O. (Canada Cent. Inland Waters, Burlington, Ont.). *Inorg. Chem.* 1972, 11(10), 2499-503 (Eng). The solv. of secondary Pb orthophosphate [PbHPO<sub>4</sub>(<sub>6</sub>)] has been measured in dil. phosphoric acid solns. Interpretation of the data in terms of the formation of the soluble species PbH<sub>2</sub>PO<sub>4</sub><sup>+</sup> and PbHPO<sub>4</sub><sup>0</sup> resulted in  $\Delta G_f^\circ$  for PbHPO<sub>4</sub>(<sub>6</sub>) of -281.8 kcal mole<sup>-1</sup>. The assocn. consts. were 10<sup>3.1</sup> and 10<sup>1.5</sup>, resp. for PbHPO<sub>4</sub><sup>0</sup> and PbH<sub>2</sub>PO<sub>4</sub><sup>+</sup>. From an investigation of the hydrolysis of secondary and tertiary Pb orthophosphates in the pH range 3-10, the  $\Delta G_f^\circ$  values for the solid phases Pb<sub>3</sub>(PO<sub>4</sub>)<sub>2</sub>, Pb<sub>3</sub>(PO<sub>4</sub>)<sub>2</sub>OH, and Pb<sub>4</sub>O(PO<sub>4</sub>)<sub>2</sub> were calcd. to be -565.0, -902.0, and -617.3 kcal mole<sup>-1</sup>, resp. The stability of these phosphates in the system PbO-P<sub>2</sub>O<sub>5</sub>-H<sub>2</sub>O is discussed.

C.A. 1972. 77. n22.

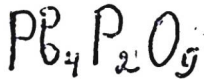
11  
11

# $Pb_3(PO_4)_2$

1973

t) 24362b  $\alpha$ -Lead(II) phosphate. Pure ferroelastic. Brixner, L. H.; Bierstedt, P. E.; Jaep, W. F.; Barkley, J. R. (Cent. Res. Dep., E.I. du Pont de Nemours and Co., Wilmington, Del.). *Mater. Res. Bull.* 1973, 8(5), 497-503 (Eng). Single crystals of  $Pb_3(PO_4)_2$  were grown by the Czochralski technique. Transparent oriented crystal sections exhibit a pattern of ferroelastic domains which are readily movable with applied external stress. The high-temp. parent phase,  $\beta$ - $Pb_3(PO_4)_2$ , transforms to the  $\alpha$  modification at  $180^\circ C$ . This transformation corresponds to the Aizu (1) species,  $3mF2/m$ , which supports full ferroelasticity. The predicted number of domain walls were obsd.

C.A. 1973.79 N 4



1973

№ 22 Б364. Выращивание кристаллов и рентгенографические данные по соединениям фосфатов свинца  $\text{Pb}_4\text{P}_2\text{O}_9$  и  $\text{Pb}_8\text{P}_2\text{O}_{13}$ . В тих лег. L. H., Fotis C. M.  
Crystal growth and X-ray data of the lead phosphates  
 $\text{Pb}_4\text{P}_2\text{O}_9$  and  $\text{Pb}_8\text{P}_2\text{O}_{13}$ . «J. Solid State Chem.», 1973, 7,  
№ 2, 149—154 (англ.)

*научный  
результат*  
Описана методика выращивания кристаллов  $\text{Pb}_4\text{P}_2\text{O}_9$  (I) и  $\text{Pb}_8\text{P}_2\text{O}_{13}$  (II) (метод Чохральского). Проведено рентгенографич. (фотометод, съемка порошкового образца, определение параметров элементарной ячейки по 144 для I и 65 для II отражениям, уточнение данных МНК) определение параметров решетки. Кристаллы I

2. 1973 № 22

и II монокл.,  $a$  9,481,  $b$  7,1303,  $c$  14,390 $\text{\AA}$ ,  $\beta$  104,51°,  
 $\rho$  (выч.) 7,294,  $\rho$  (изм.) 7,31,  $Z=4$  ф. гр.  $P$  2<sub>1</sub>/c для I;  
 $a$  10,64,  $b$  10,206,  $c$  14,342 $\text{\AA}$ ,  $\beta$  98,634°,  $\rho$  (выч.) 8,29,  
 $Z=4$ , ф. гр. C2/m для II. Установлено (тепловые изме-  
рения), что I имеет фазовый переход при  $T=294^\circ$ , а  
II характеризуется отсутствием какого-либо фазового  
перехода вплоть до  $820^\circ$ . Рентгенографич. данные  
(съемка монокристалла) указывают, однако, на наличие  
в решетке кристалла II подъячейки с параметрами:  
 $a$  5,685,  $b$  5,107,  $c$  5,318 $\text{\AA}$ ,  $\beta$  92,36°. Высказано предпо-  
ложение о возможном отнесении I и II к типу слоевых  
структур: подчеркнута целесообразность проведения  
 дальнейшего полного структурного исследования соеди-  
нений.

И. Д. Датт

$Pb_3(PO_4)_2$

XIV-4883

1973

) З Б552.  $\alpha\text{-Pb}_3(PO_4)_2$  — чистый ферроэластик. Вгіх-  
пег L. H., Bierstedt P. E., Jaep W. F., Вагк-  
леу J. R.  $\alpha\text{-Pb}_3(PO_4)_2$  — a pure ferroelastic. «Mater. Res.  
Bull.», 1973, 8, № 5, 497—503 (англ.)

(T<sub>t2</sub>)

Выращиванием из расплава по методу Чохральского получены монокристаллы  $Pb_3(PO_4)_2$  (I). Методом дифференциальной сканирующей калориметрии установлено, что при  $180^\circ$   $Pb_3(PO_4)_2$  переходит из высокотройной  $\beta$ -(I) в низкотройную  $\alpha$ -модификацию (II), кристаллизующуюся в монокл. сингонии с параметрами решетки, уточненными МНК из данных метода порошка,  $a$  13,8076,  $b$  5,6882,  $c$  9,4315 Å,  $\beta$  102,39°. Т. пл. I 981°. Приведены значения  $I$ ,  $d$  и  $hkl$  рентгенограммы порошка II. Для II установлено наличие ферроэластичных свойств.

М. Б. Варфоломеев

x 1974

№3

$Pb_3P_2O_8$

ВР - 4031 - XIV

1973

У 10 Б885. Фазовые переходы в ортофосфате свинца и твердых растворах ортофосфата и ортovanадата свинца. Исупов В. А., Крайник Н. Н., Косенко Э. Л. «Изв. АН СССР. Неорган. материалы», 1973, 9, № 1, 154—155

Изучен фазовый переход в  $Pb_3P_2O_8$  (I) вблизи 200°. Предполагалось, что он аналогичен антисегнетоэлектрич. переходу в ортovanадате свинца (II). Оказалось, что диэлектрич. проницаемость не имеет максимума в точке перехода. В тв. р-рах I и II т-ры переходов резко поникаются по сравнению с чистыми соединениями и при определенных конц-иях отсутствуют. Сделан вывод, что фазовый переход в I не имеет антисегнетоэлектрич. характера фазового перехода в II. Автореферат

Ttr

X. 1973. N10.

Connie 8823 ✓

PFO. P<sub>2</sub>O<sub>5</sub> BGP-6434-XIV, 1973

Yeffes J.H.E et al.

sepius. Faraday Syrup.

cb-69 Chem. Soc., 1973 N 8,  
34-39.

30725.8392

Ex-Ch/XIII-8

TE, Ch

NaPbPO<sub>4</sub>, Na<sub>3</sub>PO<sub>4</sub>,

Pb<sub>3</sub>(PO<sub>4</sub>)<sub>3</sub> (Tm, Tg)<sub>3</sub>

1973

X-7835

у-1165

Osterheld R.K., Hawthorne J.D.

Liquidus diagram for the sodium orthophosphate ~ lead orthophosphate system.

"J. Solid State Chem.", 1973, 7, N 1,

106-108

Б.еер-Ф.К 0923 ник

906, 907

ВИНИТИ

1973

Pb<sub>2</sub> P<sub>2</sub> O<sub>7</sub>Pb<sub>3</sub> (PO<sub>4</sub>)<sub>2</sub>

Бичинка ел. д. 20/бобовецкое

T.T. Весенний блок. Ю-ма,

c.p. весенне, 1973, 14 (6) 738-40

*Paeonia menziesii* nivalis из

предгор. горах.

all Pb<sub>2</sub>O<sub>4</sub>

С. А. 1974

80. N 18. 100799 n.

(РВО)₂Р्वе₂Н (Ти)

1973

30321.9757

02581

Х

ВР-

XIV 4612

Лиселенфосфаты и некоторые их химические  
свойства. Землянський М.І., Горак Р.Д.,  
Колодій Я.Г. Лиселенфосфати та деякі їх  
хімічні властивості.

"Укр. хім. ж.", 1973, 39, № 1, 67-70/укр./;  
"Укр. хим. ж.", 1973, 39, № 1, 68-72/рус./

б

0036 ПИК

814 815 829

ВИНИТИ

Pb<sub>2</sub>PaO<sub>7</sub>

1974

оценка SH+(L)

Б.Н. Бергов

Первич. свойства неподоступны  
звукопоглощении.

Ред. рукопись ВИЧЕГДИ.

N 590-74

$Pb_3(PO_4)_2$  BP-5846-XIV

1974

( $T_{tr}$ )

17 Б1058. Модификации в системе  $Pb_3(PO_4)_2$  —  $Pb_3(VO_4)_2$  —  $Pb_3(AsO_4)_2$ . Hodenberg Renate v. Zu den Modifikationen im System  $Pb_3(PO_4)_2$  —  $Pb_3(VO_4)_2$  —  $Pb_3(AsO_4)_2$ . «Ber. Dtsch. keram. Ges.», 1974, 51, № 3, 64—68 (нем.; рез. англ., франц.)

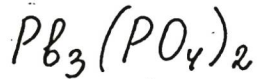
С применением методов ДТА, микроскопич. и рентгенофазового анализа изучена система  $Pb_3(PO_4)_2$  (I) —  $Pb_3(VO_4)_2$  (II) —  $Pb_3(AsO_4)_2$  (III). Указано, что I имеет две крист. модификации — высокотрнную ромбоэдрич., ф. гр.  $R\bar{3}m$  (модификация A) и низкотрнную монокл.

X.1974 N17

42 17

ф. гр. С2/с (модификация *B*). II и III кроме модификаций *A* и *B* имеют еще одну монокл. модификацию, ф. гр. Р2<sub>1</sub>/с (модификация *B*). При комн. т-ре в системе I-II существуют фазы *A*, *B* и *B*, в системе I-II—*B* и *B*, а в системе II-III — только *B*. Границы устойчивости фаз *B* и *A* в системе II-III и *A* — в системе I-III лежат при более высоких т-рах. Определены также границы устойчивости фаз *A*, *B* и *B* в системе I-II-III. Т-ры перехода  $A \rightleftharpoons B$  I, II и III равны 168,  $\sim 328$  и  $\sim 120^\circ$ , а т-ры перехода  $B \rightleftharpoons B$  II и III равны  $\sim 54$  и  $\sim 96^\circ$  соответственно.

С. С. Плоткин



1975

Brixer Y.H.

"Mater. Res. Bull."

1975, 10, N 12, 1327-1334 (see)

(see  $\text{Pb}_3(\text{PO}_4)_2$ ; I)полукрист.  
и сб-ба

$Pb_3(PO_4)_2$

B92-6449-XIV 1975

) 22 Б572. Эффект Бриллюэна в  $\beta$ -фазе фосфата свинца. Cao-Xuân Ap, Hauret Georges, Chapel-Jean-Pierre. Effet Brillouin de la phase  $\beta$  du phosphate de plomb. «С. г. Acad. sci.», 1975, 280, № 17, B543—B546 (франц.; рез. англ.)

Исследован эффект Бриллюэна в  $\beta$ -фазе  $Pb_3(PO_4)_2$ , в к-рой это в-во существует при т-рах  $T$  выше 180°. Измерения проводились с использованием одномодового Аг-лазера мощностью 2 вт и интерферометра Фабри-Перо. Установлено, что в интервале нескольких градусов в окрестности точки фазового перехода существуют спектры  $\alpha$ - и  $\beta$ -фаз. Т-рный гистерезис  $\sim 0,2^\circ$  свидетельствует о том, что  $\alpha$ — $\beta$ -переход является переходом 1-го порядка. В интервале  $T=180$ — $240^\circ$  измерена т-рная зависимость упругих констант  $C_{11}$ ,  $C_{12}$ ,  $C_{13}$ ,  $C_{14}$ ,  $C_{33}$ ,  $C_{44}$  и  $C_{66}$ . За исключением  $C_{11}$ , к-рая испытывает слабую аномалию вблизи фазового перехода, все упругие константы изменяются с т-рой линейно. Уширение

(Ttr)

22.1975 № 22

линий бриллюэновского спектра обусловлено только продольными и квазипродольными акустич. фононами, распространяющимися в плоскости, перпендикулярной оси 3-го порядка. Полушарица  $\Gamma$  спектральных линий не зависит от ориентации волнового вектора в указанной плоскости. Вблизи точки фазового перехода величина  $\Gamma$  определяется эмпирич. соотношением:  $\Gamma = A \cdot (T - T_0)^n$  Ггц, где  $A = 1,15$ ,  $T_0 = 177,8^\circ$ ,  $n = 0,33 - 0,60$ . Предполагается, что акустич. фононы, определяющие величину  $\Gamma$ , связаны с одной или несколькими мягкими оптич. модами. Волновые векторы этих мод распределены в плоскостях симметрии и образуют с плоскостью, нормальной к тройной оси, угол в  $13,3^\circ$ . Концы этих векторов находятся на Пв 1-й зоне Бриллюэна  $\beta$ -фазы и в точке, эквивалентной центру зоны Бриллюэна  $\alpha$ -фазы.

А. И. Коломийцев

МОГО

Pb<sub>3</sub>(PO<sub>4</sub>)<sub>2</sub> Bθ = 6449 - XIV -1975

(T<sub>tr</sub>)

51131q Brillouin effect of the lead phosphate  $\beta$ -phase.  
Coa Xuan An; Hauret, Georges; Chapelle, Jean P. (Lab. Phys.  
Crist., Univ. Paris-Sud, Orsay, Fr.). *C. R. Hebd. Séances  
Acad. Sci., Ser. B* 1975, 280(17), 543-6 (Fr). The Brillouin  
scattering studies indicate that the purely ferroelastic phase  
transition of Pb<sub>3</sub>(PO<sub>4</sub>)<sub>2</sub> from the  $\alpha$  (low-temp.) phase to the  
 $\beta$ -phase at  $T_0 = 177.8^\circ$  is a 1st-order transition. The  
longitudinal acoustic phonons, which propagate perpendicular to  
the ternary axis, are damped over a wide temp. ( $T$ ) range. In the  
vicinity of the transition, the damping coeff. is given by  
 $A(T, T_0)^n$  where  $n \approx 0.5$  and  $A = 1.15$ .

C.R. 1975, 83 n° 6

1975

Pb<sub>3</sub>P<sub>2</sub>O<sub>8</sub>

5 Б1142. Термодинамика фазового перехода в ортофосфате свинца. Гене В. В., Дудник Е. Ф. «Физ. твердого тела», 1975, 17, № 8, 2404—2406.

Изучался фазовый переход Pb<sub>3</sub>P<sub>2</sub>O<sub>8</sub>, к-рый является ферроэластиком с фазовым переходом  $\overline{R\bar{3}mFC2/c}$ , причем происходит удвоение объема элементарной ячейки. Найдены два неприводимых представления, связанных с неприводимой звездой  $1/2b_1$  (группа волнового вектора  $2/m$ ). Определено, что при фазовом переходе возникают спонтанные деформации в трех эквивалентных системах координат, повернутых на углы  $120$  и  $240^\circ$  одна относительно другой. Показано, что предложенная теория фазового перехода в ортофосфате свинца находится в хорошем согласии с эксперим. данными.

М. С. Зухер

x 1946 N5

Pb<sub>3</sub>(PO<sub>4</sub>)<sub>2</sub> 1975

Күнкүр С. В. и. гр.

Велич. збоб. измін. иссл.

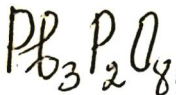
1975, 95, 34-8.

(ΔMg)



(all Cs<sub>3</sub> PO<sub>4</sub>) I

1975



(Ttr)

163334u Electron paramagnetic resonance and x-ray studies of the phase transformation in lead(II) phosphate (Pb<sub>3</sub>P<sub>2</sub>O<sub>8</sub>). Ng, H. N.; Calvo, C. (Inst. Mater. Res., McMaster Univ., Hamilton, Ont.). *Can. J. Phys.* 1975, 53(1), 42-51 (Eng). Pb<sub>3</sub>P<sub>2</sub>O<sub>8</sub> has a low-temp. monoclinic phase, space group C2/c, and a high-temp. phase, space group R-3-m, both with 2 crystallog. inequivalent cationic sites. X-ray data taken at five temps. indicated that an F-centered monoclinic cell developed prior to its transition to the rhombohedral phase. The EPR spectra at room temp. showed that Mn<sup>2+</sup> substitutes only at the cationic site on the 2-fold axis. A phase transition occurs at 185° and on approaching this temp. from below, the magnetic axes in the ac plane rotate continuously by about 40°. At 185° the Z axis coincides with the c axis of the hexagonal cell. The crystal-field splitting parameter  $b_2^0$  increases from -423 G to -222 G while  $b_2^2$  goes from 280 G to zero. EPR parameters are related to the at. displacements.

C.A. 1975, 82N24



## Структура · нафосфат

7 Б374. Рентгеновское исследование метаfosфата свинца. Обзиенко Ю. В., Ефимов В. М., Странова Л. А. «Тр. ВНИИ хим. реактивов и особо чистых хим. веществ», 1975, вып. 37, 219—222

Получены рентгеновские (дифрактометр,  $\lambda_{Cu}$ ) данные для идентификации поликрист.  $Pb(PO_3)_2$  ( $I, d, hkl$ ). Кристаллы монокл.,  $a$  7,29,  $b$  7,95,  $c$  17,38 Å,  $\beta$  90,5°,  $Z=8$ , ф. гр.  $P2_1/c$ . Показано образование аморф. и крист. форм  $Pb(PO_3)_2$  в зависимости от условий термич. разложения.

Резюме

Х.1977. №7

$Pb_3(PO_4)_2$

1975

8 E763. Дилатометрическое изучение сегнетоупругого перехода монокристаллического ортофосфата свинца. Tolédano J. C., Pateau L., Primo J., Aubrée J., Morin D., Etude dilatometrique de la transition ferroelastique de l'orthophosphate de plomb monocristallin. «Mater. Res. Bull.», 1975, 10, № 2, 103—112 (франц.; рез. англ.)

( $\Delta H_{fus}$ )

Из монокристаллов  $Pb_3(PO_4)_2$ , выращенных методом Чохральского, вырезались монодоменные области и в интервале 25—250° С (включающем переход из моноклинной фазы в ромбоэдрическую при 175° С) исследовалось тепловое расширение дилатометрическим и рентгеноструктурным методами. Удлинение вдоль моноклинных осей X, Y обнаруживает скачки при 175° С, а расчетанные из опытных данных компонентов тензора

92 1975. № 8

моноклинной деформации скачкообразно обращаются при этой т-ре в нуль. При  $25^{\circ}\text{C}$  деформация сдвига в плоскости (100) составляет  $2,2 \times 10^{-2}$ . Скрытая теплота в точке перехода, определенная методом дифференциального термич. анализа, составила 0,17 кал/г.

В. Х. Козловский

$\text{Pb}_3(\text{PO}_4)_2$  B92 - 7042 - XIV 1975

7 Б1036. Симметрия параметра порядка перехода при сегнетоэластическом фазовом превращении в фосфате свинца. Тоггес J. Symétrie du paramètre d'ordre de la transition de phase ferroélastique du phosphate de plomb. «Phys. status solidi(b)», 1975, 71, № 1, 141—150  
(франц.; рез. англ.)

(Tri)

чечено

TRV

X1976 N7

Теоретически исследован сегнетоупругий фазовый переход при  $180^\circ$  в фосфате свинца  $Pb_3(PO_4)_2$ . Показано, что изменение в пространственной симметрии  $R\bar{3}m \rightarrow B2/b$ , к-рое происходит при превращении, включает удвоение числа атомов в элементарной ячейке, т. е. это сегнетоэластич. материал необычного типа. Симметрию его параметров порядка анализировали станд. теор. методом групп. Показано, что параметр порядка изменяется согласно трехмерному непреводимому представлению  $R\bar{3}m$ , соотв-щему  $L$ -точке границы зоны Бриллюэна ромбоэдрич. решетки. Однако, два различные непроводимые представления могут вызвать наблюдаемое превращение, что оставляет неопределенность в действительной симметрии параметра порядка. Увеличение свободной энергии, к-рое описывает изменение физ. св-в, вблизи перехода имеет такую же форму в обоих случаях.

Резюме

Pb<sub>3</sub>(PO<sub>4</sub>)<sub>2</sub>

XIV-7929

1976

Tet

86: 81040p Raman effect of  $\alpha$ - and  $\beta$ -trilead diphosphate.  
Benoit, J. P. (Lab. Phys. Cryst., Univ. Paris-Sud, Orsay, Fr.).  
*Ferroelectrics* 1976, 13(1-4), 331-2 (Eng). The  $\sim 350 - \sim 1000\text{-cm}^{-1}$   
Raman spectra of Pb<sub>3</sub>(PO<sub>4</sub>)<sub>2</sub> at 20 and 250°C agree with the  
theor. predicted spectra of the  $\alpha$ - and  $\beta$ -phases, resp. On  
heating, there is a progressive change from the low- to the  
high-temp. spectrum without there being a discontinuity at the  
transition point.

C.H. 1977 86 n12

$\beta$ - $Pb_3(PO_4)_2$  XIV-7929

1976

10 Б508. Комбинационное рассеяние света в а- и  
 $\beta$ - $Pb_3(PO_4)_2$ . Веноit J. P. Raman effect of  $\alpha$  and  $\beta$   
 $(PO_4)_2Pb_3$ . «Ferroelectrics», 1976, 13, № 1—4, 331—332  
(англ.)

При т-рах 20—290° измерены спектры КР монокристалла  $Pb_3(PO_4)_2$  ( $\beta$ -фаза выше 180° и  $\alpha$ -фаза ниже 180°). В точке фазового перехода в спектрах не отмечено резких изменений как в области внешних, так и внутренних колебаний. Эксперим. результаты не удается объяснить в рамках гипотезы мягкой оптич. моды; однако, они указывают на существование монокл. доменов в  $\beta$ -фазе. Вопрос о том, являются ли домены статич. или имеют место крит. флуктуации, локально приводящие к симметрии низкот-рной фазы, требует дальнейшего выяснения.

Б. В. Рассадин

(Tz)

Х, 1977, N10

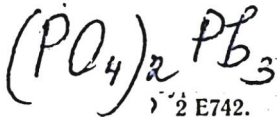
# Pb<sub>3</sub>(PO<sub>4</sub>)<sub>2</sub>

1976

85: 100132t Free energy of lead(II) phosphate around the transition point. Chapelle, J. P.; Cao Xuan An; Benoit, J. P. (Lab. Phys. Crist., Univ. Paris-Sud, Orsay, Fr.). *Solid State Commun.* 1976, 19(6), 573-5 (Eng). The structures of  $\alpha$  and  $\beta$  Pb<sub>3</sub>(PO<sub>4</sub>)<sub>2</sub> [7446-27-7] show that there is a condensation of an Au type soft mode at the ferroelastic transition point (180°). Since only the C<sub>11</sub> elastic const. has a strong discontinuity at the transition point, the interaction term in the free energy is  $\Delta W_3 = 2b\epsilon_{11}Q^2$  where W<sub>3</sub> is the interaction energy,  $\epsilon_{11}$  is the strain and Q is an order parameter. The calcd. discontinuities of the spontaneous deformations are in good accordance with the exptl. results.

(T<sub>Tz</sub>, 46)

C.A. 1976 85 n 14



1976

2 E742. Свободная энергия  $(PO_4)_2Pb_3$  вблизи точки фазового перехода. Chapelle J. P., Cao Xuan An, Benoit J. P. Free energy of  $(PO_4)_2Pb_3$  around the transition point. «Solid State Communns», 1976, 19, № 6, 573—575 (англ.)

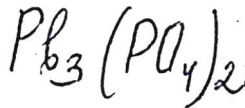
Рассматривается фазовый переход (ФП) ромбоэдрической структуры в моноклинную ( $T_c = 180^\circ C$ ) в соединении  $(PO_4)_2Pb_3$ . Полагая, что ФП связан с конденсацией моды  $A_u$  норм. колебаний, записывают разложение свободной энергии системы в окрестности  $T_c$  в форме:  $F = \Delta W_1 + \Delta W_2 + \Delta W_3$ , где  $\Delta W_1 = 1/2aQ^2 + 1/4\beta Q^4 + 1/6\gamma Q^6$ ,  $\Delta W_2$  — упругий член,  $\Delta W_3$  — учитывает взаимодействие между мягкой модой и деформацией  $\varepsilon_{ij}$ . С использованием эксперим. данных о температурной зависимости упругих постоянных в окрестности  $T_c$  получен член взаимодействия в виде  $\Delta W_3 = 2b\varepsilon_{11}Q^2$ , что согласуется с результатами дилатометрич. измерений. И. М. Р.

16,  $T_c$

φ 1977 № 2

18-14190

1976



1 Б727. Термические свойства фосфата свинца.  
Gilletta F., Chabin M., Сао-Хуан А.п. Thermal  
properties of lead phosphate. «Phys. status solidi(a)»,  
1976, 35, № 2, 545—549 (англ.; рез. франц.)

С помощью дифференциального сканирующего калориметра DSC-2 в интервале 100—730° измерена теплопроводность монокристаллов фосфата свинца  $Pb_3(PO_4)_2$  (I). Результаты представлены графически. Обнаружена аномалия  $\lambda$ -типа при  $180,5 \pm 0,1^\circ$ , связанная с ферроэлектрич. переходом в I. Энтальпия этого превращения равна  $0,175 \pm 0,005$  кал/г. Вычислена энтропия ферроэлектрич. перехода в интервале 120—190°. Рассчитаны энергия Гиббса и энтропия перехода и параметр упорядочения I. Установлено хорошее соответствие результатов теор. расчетов с экспериментом. П. М. Чукров

$C_p, T_{tr}, \Delta H_{tr}$

02 1977 № 1

Pb<sub>3</sub>(PO<sub>4</sub>)<sub>2</sub>

4-14190

XIV-7345

1976

85: 100120n Thermal properties of lead phosphate. Gillette, F.; Chabin, M.; Cao Xuan An (Inst. Rech. Mater. Miner., Univ. Orleans, Orleans, Fr.). *Phys. Status Solidi A* 1976, 35(2), 545-9 (Eng). The specific heat of Pb<sub>3</sub>(PO<sub>4</sub>)<sub>2</sub> [74-16-27-7] was measured between 100 and 730° and exhibits a strong anomaly in the vicinity of the ferroelastic transition at T<sub>c</sub> = (180.5 ± ± 0.1)°. This transition is first-order, with a latent heat of transition L = (0.175 ± ± 0.005) cal/g. Tests of the phenomenol. theory of ferroelasticity are made on the exptl. excess entropy and on spontaneous strains. This theory provides a good description of the behavior of lead phosphate near the transition. The temp. dependence of the order parameter is detd.

(C<sub>p</sub>, T<sub>tr</sub>, ΔH<sub>tr</sub>)

C.A. 1976 85v14

Pb(Po<sub>4</sub>)<sub>4</sub>

1977

7 Б273. Ферроэластичный переход ортофосфата  
свинца и структурные параметры этого соединения.  
Guimaraes D. M. C. A., Glazer A. M. The ferroelastic transition of lead orthophosphate and structural parameters. В сб. «Четвертая Международ. конф. по сегнетоэлектричеству МКС-4, Ленинград, 1977 г. Тезисы.» Л., «Наука», 1977, 169, (англ.)

Рентгенографическое исследование ортофосфата свинца в интервале т-р 20—312° подтвердило наличие для этого соединения ферроэластич. фазового перехода при т-ре 180° и показало, что это превращение является фазовым переходом 1-го рода. С. В. Соболева

Ttr

2, N4, 1978

$Pb_3(PO_4)_2$

1977

86: 819-46p X-ray diffraction and scattering study of the ferroelastic phase transition of lead phosphate:  $Pb_3(PO_4)_2$ . Joffrin, C.; Benoit, J. P.; Deschamps, L.; Lambert, M. (Lab. Leon Brillouin, Gif-sur-Yvette, Fr.). *J. Phys. (Paris)* 1977, 38(2), 205-13 (Fr). Thermal modifications of  $Pb_3(PO_4)_2$  as a function of temp. were studied by x-ray scattering. The  $\alpha$  phase is monoclinic, space group  $C2/c$ , below the transition point. The  $\beta$  phase considered as rhombohedral has, above the transition temp., a local monoclinic structure. Monoclinic microdomains become undetectable at higher temps.

T<sub>tr</sub>

c. A. 1977 86 N12

PbHPO<sub>4</sub>

PbHAsO<sub>4</sub>

T<sub>c</sub>

(+)

☒

2, NC, 1977

б 514. Дисперсия диэлектрической проницаемости в далекой инфракрасной и субмиллиметровой области для сегнетоэлектрических PbHPO<sub>4</sub> и PbHAsO<sub>4</sub>. Купра J., Petzelt J., Kozlov G. V., Volkov A. A. Far infrared and submillimeter dielectric dispersion in ferroelectric PbHPO<sub>4</sub> and PbHAsO<sub>4</sub>. В сб. «Четвертая Международ. конф. по сегнетоэлектричеству МКС-4, Ленинград, 1977 г. Тезисы.» Л., «Наука», 1977, 51 (англ.)

1977

Исследована т-рная ( $T=100-350^\circ\text{K}$ ) зависимость поляризац. спектров отражения в далекой ИК-области ( $10-450 \text{ см}^{-1}$ ) и спектров поглощения в субмиллиметровой области ( $6-18 \text{ см}^{-1}$ ) монокристаллов PbHPO<sub>4</sub> ( $T_c=310^\circ\text{K}$ ) и PbHAsO<sub>4</sub> ( $T_c=313,5^\circ\text{K}$ ). Спектры отражения регистрировались на фурье-спектрометре. С помощью соотношений Крамерса-Кронига рассчитана, а в субмиллиметровой области непосредственно измерена дисперсия диэлектрич. проницаемости ( $\epsilon'$  и  $\epsilon''$ ), показателя преломления и коэф. поглощений. Сильная дисперсия  $\epsilon'$  и  $\epsilon''$  наблюдается в микроволновой области. Это указывает на то, что туннелирование не играет существенной роли в динамике протонов (в отличие от кристаллов типа КДР). Динамика протонов имеет сложный характер и не может быть объяснена

в рамках простой спиновой модели. Делаются попытки привлечения представления о «мягкой моде».

А. В. Бобров

ини  
'ош'

PbHPO<sub>4</sub>

БГ - XII - 9773

1977

10 Б753. Изучение комбинационного рассеяния при сегнетоэлектрическом фазовом переходе в PbHPO<sub>4</sub> и PbHAsO<sub>4</sub>. Lavrenčič B. B., Petzelt J. Raman study of the ferroelectric phase transition in PbHPO<sub>4</sub> and PbHAsO<sub>4</sub>. «J. Chem. Phys.», 1977, 67, № 9, 3890—3896 (англ.)

В интервале т-р 80—350 К изучены спектры КР PbHPO<sub>4</sub> (I) и PbHAsO<sub>4</sub> (II). Получены также спектры PbDPO<sub>4</sub> (III) при коми. т-ре. Выше и ниже т-р сегнетоэлектрич. переходов изменений в спектрах I и II не наблюдается. Из изучения слабых мягких мод в области 100 см<sup>-1</sup> сделан вывод о важной роли туннельного эффекта при перемещении протона из положений, соотв-щих двум потенциальным минимумам в сегнетоэлектрич. фазах I и II. Показано, что при коми. т-ре I и III не изоморфны, на основе чего сделано заключение о наличии фазового перехода в III в интервале т-р от коми. до 435 К.

Ж. Г. Васilenko

д 19.09.1970

PbHPO<sub>4</sub>

1977

№ 8 Б347. Нейтронографическое исследование структуры PbHPO<sub>4</sub> в сегнетоэлектрической фазе при комнатной температуре. Nelmes R.J., Choudhary R.N.P. A neutron diffraction study of the structure of PbHPO<sub>4</sub> in its ferroelectric phase at room temperature. В сб. «Четвертая Международ. конф. по сегнетоэлектричеству МКС-4, Ленинград, 1977 г. Тезисы.» Л., «Наука», 1977, 54 (англ.)

Itc

Нейтронографически (четырехкружный дифрактометр,  $\lambda = 1,045\text{\AA}$ , ( $\sin \theta / \lambda_{\max} = 0,77\text{\AA}^{-1}$ , 615 отражений) исследована структура PbHPO<sub>4</sub> (I) при коми. т-ре, т. е. в сегнетоэлектрич. фазе ( $T_c = 37^\circ$ ). Показано, что фаза имеет монокл. структуру, ф. гр.  $Pc$ . В PbDPO<sub>4</sub> (II) сегнетоэлектрич. переход (типа порядок-беспорядок) происходит при  $179^\circ$ , а полный порядок достигается при  $T = T_c - 80^\circ$ . Координаты атомов в II использованы в кач-ве исходных при уточнении структуры I. Okazaloсь, что смещения атомов Pb и P из частных положений ф. гр.  $P2/c$ , занятых в паразелектрич. фазе, ока-

2, № 8, 1978

зались вдвое меньше, чем в полностью упорядоченной II. Это согласуется с тем, что при коми. т-ре фаза I (в отличие от II) упорядочена не полностью, поскольку исследование проведено при т-ре, к-рая лишь на  $\sim 20^\circ$  ниже точки перехода. Проводится дальнейшее уточнение структуры I с учетом частичного упорядочения атомов водорода.

С. Ш. Шильштейн

согра  
в г

1977

# PbHPO<sub>4</sub>

7 Б465. Диэлектрические свойства монокристаллов моногидрофосфата свинца, PbHPO<sub>4</sub>. Smutny F., Foussék J., Dielectric properties of lead monohydrogen phosphate single crystals PbHPO<sub>4</sub>. В сб. «Четвертая Международ. конф. по сегнетоэлектричеству МКС-4, Ленинград, 1977 г. Тезисы.» Л., «Наука», 1977, 50 (англ.)

Измерены неизуемые компоненты тензора начальной диэлектрич. проницаемости ( $\epsilon_{11}$ ,  $\epsilon_{13}$ ,  $\epsilon_{33}$ ,  $\epsilon_{22}$ ) при т-рах 10—400° К и спонтанная поляризация ( $P_x$ ,  $O$ ,  $P_y$ ) при т-рах 10—310° К для монокристаллов PbHPO<sub>4</sub> (I). Изучено влияние электрич. поля на сегнетоэлектрич. фазовый переход,  $2/m \rightarrow m$ , к-рый имеет место при 310° К. Полученные результаты, а также данные по влиянию гидростатич. давления на поведение I, обсуждены в рамках теории фазовых переходов. И. Д. Белова

Ttx

Х, 17, 1978

1977

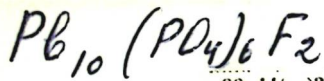
# Pb<sub>3</sub>(PO<sub>4</sub>)<sub>2</sub>

6 Б563. Диэлектрические аномалии в сегнетоупругом ортофосфате свинца. Torres J., Aubree J. Dielectric anomalies in ferroelastic lead orthophosphate. В сб. «Четвертая Международ. конф. по сегнетоэлектричеству МКС-4, Ленинград, 1977 г. Тезисы.» Л., «Наука», 1977, 167 (англ.)

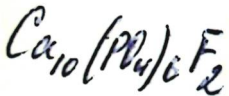
Исследование т-рной зависимости диэлектрич. проницаемости ортофосфата свинца Pb<sub>3</sub>(PO<sub>4</sub>)<sub>2</sub> (I), обладающего сегнетоупругим переходом  $3m \rightarrow 2/m$  при 180°. Исследование диэлектрич. св-в I проводилось в направлениях, перпендикулярных монокл. осям [001] и [010]. Вдоль направления [010] обнаружено два отчетливых пика  $\epsilon$  при 180 и 280°. Вдоль оси [001] на т-рной зависимости  $\epsilon$  обнаружен максимум при 180°, плато при 180—280°, а затем наблюдалось понижение  $\epsilon$ . Полученные эксперим. данные интерпретированы в рамках феноменологич. теории фазового перехода при 180°. Выявлена микроскопич. природа диэлектрич. аномалий. Предложено объяснение аномалий, наблюдавшихся в рентгенографич. исследованиях и при изучении нейтронного рассеяния при т-рах 180—400°.

И. Д. Белова

ж. № 1978



1978



90: 110, 321 Lead fluoroapatite - calcium fluoroapatite system. Berak, Jozef; Lis, Halina (Inst. Technol. Przem. Chem. Spozyw., Akad. Ekon., Wroclaw, Pol.), *Pr. Nauk. Akad. Ekon. im. Oskara Langego Wroclawiu* 1978, 132(Ref. Komun. Zjazd Nauk.: Nieorg. Związki Fosforowe, 6th), 333-4 (Pol). The system Pb fluorapatite ( $Pb_{10}(PO_4)_6F_2$ )(I) - Ca fluoroapatite ( $Ca_{10}(PO_4)_6F_2$ )(II) consists of solid solns. of the components over the entire concn. range, as indicated by the continuous change of the lattice consts. when passing from I to II (a from 9.75 to 9.38 Å; c from 7.30 to 6.89 Å). I and II were prep'd. by sintering mixts. of the resp. orthophosphates and fluorides in Ar atm. at 850 and 1100°, resp. Both components melt congruently, I at 1098° and II at 1710°. I exhibits 2 polymorphic transitions at 590 and 780°, and pure II only 1 transition at 800°, whereas in the presence even of small amts. of I, a 2nd transition of II occurs at 300°.

L. Kuca

(Tm)

(41) ↗



C.A. 1979, 90, 114

1978

PbHPO<sub>4</sub>

PbDPO<sub>4</sub>

Tc

88: 82539m Theory of the phase transition in the quasi-one-dimensional hydrogen-bonded ferroelectric crystal lead monohydrogen phosphate. De Carvalho, A. V.; Salinas, S. R. (Dep. Fis., Univ. Fed. Minas Gerais, Belo Horizonte, Brazil). *J. Phys. Soc. Jpn.* 1978, 44(1), 238-43 (Eng). A Slater-Takagi basic model is constructed for the protonic order-disorder transition in the ferroelec. crystal PbHPO<sub>4</sub>. The essential feature of the structure of PbHPO<sub>4</sub> and its isomorphs is the existence of infinite chains of H bonds with no protonic contacts between chains. A weak long-range interaction between chains is added to the basic model in order to obtain spontaneous polarization, and the model was fit to data for PbDPO<sub>4</sub> and PbHPO<sub>4</sub> by varying 2 parameters. The agreement between the predicted value of the dielec. susceptibility and that derived from exptl. data was better for PbDPO<sub>4</sub> than it was between the corresponding values for PbHPO<sub>4</sub>.

C.A. 1978, 82, N12

PbHPO<sub>4</sub>

PbHAsO<sub>4</sub>

Ommecu 7103

1978

90: 175572y Specific heat of ferroelectric schultenites.  
Fouskova, A.; Brezina, B. (Inst. Phys., Prague, Czech.).  
*Ferroelectrics* 1978, 19(3-4), 119-21 (Eng). The heat  
capacities of PbHPO<sub>4</sub> [15845-52-0], PbHAsO<sub>4</sub> [7784-40-9], PbDPO<sub>4</sub>  
[53563-27-2], and PbDAsO<sub>4</sub> [58973-93-6] single crystals were  
detd. at 200-500 K, the temp. range which includes the ferroelec.  
phase transitions. The entropy changes at the onset of  
spontaneous polarization were estd. and compared with the  
values calcd. from dielec. measurements. The thermal properties  
of PbHPO<sub>4</sub> are independent of the method of growth.

(C<sub>P</sub>, ΔH, ΔS)

(+/-) □



C.A. 1979, 20, N22

PbHPO<sub>4</sub>

оттиск 7103

1978

PbHAsO<sub>4</sub>

(C<sub>p</sub>)

†1 □

φ. 1979  
N5

5 E1437. Теплоемкость сегнетоэлектрических шультенитов. Fousková A., Březina B. Specific heat of ferroelectric schultenites. «Ferroelectrics», 1978, 19, № 3—4, 119—121 (англ.)

В диапазоне  $T = 200$ — $500$ °К, включающем в себя точку сегнетоэлектрического фазового перехода ( $T_c$ ), с использованием дифференциального сканирующего калориметра измерены теплоемкости моноокристаллов PbHPO<sub>4</sub>, PbHAsO<sub>4</sub>, PbDPO<sub>4</sub> и PbDAsO<sub>4</sub> со структурой шультенита. Полученные значения теплоты перехода, изменения энтропии и скачка теплоемкости при  $T_c$  для всех изученных кристаллов сравниваются с величинами, рассчитанными из диэлектрич. измерений. Показано, что тепловые свойства кристаллов PbHPO<sub>4</sub> не зависят от метода выращивания: регулируемой химич. реакцией в гели или из водного раствора.

С. А. Гриднев

1978



93: 123169q EPR study of manganese(2+) and gadolinium(3+) around the ferroclastic transition point of lead(II) phosphate. Houlier, B.; Razeghi, M. (Lab. Phys. Cristalline, Univ. Paris-Sud, 91405 Orsay, Fr.). *Magn. Reson. Relat. Phenom., Proc. Congr. AMPERE, 20th 1978* (Pub. 1979), 379 (Eng.). Edited by Kundla, E.; Lippmaa, E.; Saluveer, T. Springer: Berlin, Fed. Rep. Ger. EPR spectra of Mn<sup>2+</sup> and Gd<sup>3+</sup> probes in Pb<sub>3</sub>(PO<sub>4</sub>)<sub>2</sub> show that these ions substitute for a Pb ion. They are strongly influenced by the phase transition occurring at 180°.

(Tr)

CA 1980 93 n12

PbHPO<sub>4</sub>

Тер

12 Б868. Оптические свойства монокристаллов моногидрофосфата свинца PbHPO<sub>4</sub>. Koják C., Smutný F., Vřezina B., Budík L. Optical properties of lead monohydrogen phosphate single crystals, PbHPO<sub>4</sub>. «Ferroelectrics», 1978, 21, № 1—4, 361—363 (англ.)

В диапазоне т-р 25—50°, т. е. вблизи сегнетоэлектрич. структурного фазового перехода  $2/m \rightarrow m$  ( $\approx 38^\circ$ ) измерено двойное лучепреломление и угол между главными осями эллипса поляризации с монокл. осью  $a$  в тонких монокрист. пластинах PbHPO<sub>4</sub>, вырезанных параллельно плоскости  $a-c$ . Найдено спонтанное двупреломление в сегнетофазе. Величины эффективного квадратичного и линейного электрооптич. коэф. (соответствующих обратному электрооптич. эффекту, когда электрич. поле приложено так, что результирующая наложенная поляризация параллельна направлению спонтанной поляризации  $P_i \parallel P_s$ ) вычислены из данных по  $P_s(T)$ . Некоторое отклонение от линейности вблизи т-ры перехода объяснено влиянием несовершенства решетки реальных образцов.

Г. Л. Апарников

2: 1979, N/2

РbHPO<sub>4</sub>  
РbHAsO<sub>4</sub>

14 Б613. Диэлектрическая дисперсия в сегнето-электрических PbHPO<sub>4</sub> и PbHAsO<sub>4</sub> в далеком инфракрасном и субмиллиметровом диапазонах. Kozlov G. V., Volkov A. A., Kgoira J., Petzelt J. Far infrared and submillimetre dielectric dispersion in ferroelectric PbHPO<sub>4</sub> and PbHAsO<sub>4</sub>. «Ferroelectrics», 1978, 21, № 1—4, 387—389 (англ.)

Монокристаллические пластины PbHPO<sub>4</sub> (I) и PbHAsO<sub>4</sub> (II) получены осаждением из водн. р-роз. На образцах I и II при т-рах 90—400° К проведены измерения спектров отражения поляризованного излучения в далекой ИК-области ( $20\text{--}450\text{ см}^{-1}$ ) и спектров пропускания в области  $6\text{--}20\text{ см}^{-1}$ . Т-рный интервал измерений включал точки фазовых переходов 310° К и 313,5° К для I и II соотв. Установлено, что для I и II мягкая мода имеет релаксац. характер. Для I время релаксации  $\tau \approx 5,3 \cdot 10^{-11} (T - 310)^{-1}$  при  $T > 310^{\circ}\text{ К}$  и  $\tau \approx 1,3 \cdot 10^{-11} (310 - T^{-1})$  при  $T < 310^{\circ}\text{ К}$ . Коэф. отражения I и II при поляризации  $E \perp P_s$  обладают аномально сильной т-рной зависимостью, природа к-рой не выяснена.

(71)

И. Я. Цвейбак

Д.1049, N14

1978

PbHPO<sub>4</sub>

12 Б869. Исследование сегнетоэлектрического фазового перехода в PbHPO<sub>4</sub> методами спектроскопии Бриллюэна и комбинационного рассеяния. Lavagel'sic B. B., Copic M., Zgonik M., Petzelt J. Raman study of the ferroelectric phase transition in PbHPO<sub>4</sub>. «Ferroelectrics», 1978, 21, № 1—4, 325—327  
(англ.)

С целью исследования динамики представителей новой серии сегнетоэлектриков получены спектры КР и спектры Бриллюэна PbHPO<sub>4</sub> в параэлектрич. и сегнетоэлектрич. фазах. Проведено отнесение мод в спектрах. Слабую затухающую мягкую моду наблюдали при частоте ниже 100 см<sup>-1</sup>. В спектрах Бриллюэна обнаружена низкочастотная дисперсия ниже  $T_c$ , к-рая может быть хорошо описана простой ф-лой релаксац. типа. При со-поставлении полученных данных с результатами по отражению в дальн. ИК-области предположено, что за сегнетоэлектрич. переход ответственна низкочастотная релаксац. мода, а не мода, к-рую наблюдали в спектрах комбинац. рассеяния.

Резюме

22.10.79, N° 12

*1978*  
PbHPO<sub>4</sub>

13 Б479. Нейтронографическое исследование структуры PbHPO<sub>4</sub> в сегнетоэлектрической фазе при комнатной температуре. Neelmes R. J., Choudhary R. N. P. A neutron diffraction study of the structure of PbHPO<sub>4</sub> in its ferroelectric phase at room temperature. «Ferroelectrics», 1978, 21, № 1—4, 467—468 (англ.)

*Ttr*  
Нейтронографически ( $\lambda = 1,045 \text{ \AA}$ , 4-кружный автоматический дифрактометр, УМНК,  $R=0,058$  по 615 независимым отражениям) исследована структура PbHPO<sub>4</sub> (I) при комн. т-ре, то есть на  $20^\circ$  ниже т-ры сегнетоэлектрического перехода. Расположение атомов Н по позициям, эквивалентным выше  $T_c$  и неэквивалентным ниже  $T_c$ , характеризуется степенью порядка  $\sim 0,5$ , что согласуется со значением спонтанной поляризации  $P$  при комн. т-ре,  $P$  и изоструктурные соединения представляют собой удобные модельные системы для детального изучения механизма фазового перехода в сегнетоэлектриках типа KN<sub>2</sub>PO<sub>4</sub>.

С. Ш. Шильштейн

2.1979, N/3

PbHPO<sub>4</sub>

(Ttr)

13 Б575. Диэлектрические свойства монокристаллов кислого фосфорнокислого свинца, PbHPO<sub>4</sub>. Smutný F., Fousek J. Dielectric properties of lead monohydrogen phosphate single crystals, PbHPO<sub>4</sub>. «Ferroelectrics», 1978, 21, № 1—4: 385—386 (англ.).

Для монокристаллов PbHPO<sub>4</sub> (I) исследованы диэлектрическая проницаемость ( $\epsilon$ ), спонтанная поляризация ( $P_c$ ) и эффект поляризации смещения диэлектрической проницаемости на постоянном токе. Получены температурные зависимости  $\epsilon^{\text{эфф}}(T)$  и  $P_c(T)$ . На зависимости  $\epsilon^{\text{эфф}}(T)$  отмечен пик, соответствующий фазовому переходу при  $\sim 310^\circ\text{K}$ . Других фазовых переходов в диапазоне  $4,2$ — $400^\circ\text{K}$  не обнаружено. Максимальное значение спонтанной поляризации, измеренной при 50 Гц, найдено в направлении, составляющем угол  $25^\circ$  с кристаллографической осью  $a^*$  монокристалла. Построены зависимости поляризации смещения диэлектрической проницаемости  $\epsilon_{E=0}(T)$  для значений  $E$  от 0 до 5700 в/см. Найдено, что гидростатическое давление повышает температуру фазового перехода на  $\sim 13^\circ\text{K}/\text{кбар}$ . На основании полученных экспериментальных данных рассчитана величина энтропии для I, составляющая 0,18 кал/моль·град.

Н. С. Шумилкин

Х:1979/11/3

1978

Pb<sub>3</sub>(PO<sub>4</sub>)<sub>2</sub>

(Tc)

91: 31343x Interpretation of the anomalous behavior of lead phosphate [Pb<sub>3</sub>(PO<sub>4</sub>)<sub>2</sub>] above 180°C. Torres, J.; Aubrec J. (Cent. Natl. Etud. Telecommun., Bagneux, Fr.). *Ferroelectrics* 1978, 21(1-4) (Proc. Fourth Int. Meet. Ferroelectr., Leningrad, USSR, September 1977)), 589-90 (Eng). Recent Raman, x-ray, and neutron scattering measurements have thrown doubt on the accepted symmetry change C2/c → R̄3m at the 180° transition in Pb<sub>3</sub>(PO<sub>4</sub>)<sub>2</sub>. These results can be interpreted satisfactorily using existing phenomenol. theory by assuming the occurrence of a new monoclinic phase involving an 8-fold unit-cell expansion at 180-300°. Dielec.-const. measurements were made at 30-380° to search for the 2nd transition but were inconclusive.

c.A. 1949, 91/NY

*Pb<sub>3</sub>(PO<sub>4</sub>)<sub>2</sub>*

*(Ttr)*

14 Б912. Интерпретация аномального поведения  $\text{Pb}_3(\text{PO}_4)_2$  выше  $180^\circ$ . Тогтэс J., Аубрée J. Interpretation of the anomalous behaviour of  $\text{Pb}_3(\text{PO}_4)_2$  above  $180^\circ\text{C}$ . «Ferroelectrics», 1978, 21, № 1—4, 589—590 (англ.)

Предложено новое объяснение аномальных эффектов, наблюдающихся в  $\text{Pb}_3(\text{PO}_4)_2$  (I) при т-рах выше  $180^\circ$ . Проведен крит. анализ результатов по КР спектроскопии, рентгеновскому и нейтронному рассеянию. Высказано сомнение в справедливости общепринятой схемы превращений  $C2/c \rightarrow R3m$  при фазовом переходе в I при  $180^\circ$ . На основе существующей феноменологич. теории, предполагающей возникновение новой моноклинной фазы, сопровождающейся 8-кратным расширением элементарной ячейки между  $180$  и  $300^\circ$ , получено удовлетворительное объяснение эксперим. результатов. Справедливость предложенной модели проверена дипольн. измерениями. При т-рах  $30$ — $380^\circ$  изучена т-риальная зависимость емкости образцов I вдоль [001] и [010] монокл. осей. Установлено, что I претерпевает изменения симметрии  $C2/c(2) \rightarrow C2/c(8)$  при  $180^\circ$  и  $C2/c(8) \rightarrow R3m(1)$  при  $300^\circ$ .

И. Н. Бекман

20.10.1979 N14

PbHPO<sub>4</sub>  
PbHAsO<sub>4</sub>

1978

8 E929. Влияние гидростатического давления на фазовые переходы в PbHPO<sub>4</sub> и PbHAsO<sub>4</sub>. Yasuda Naohiko, Okamoto Motohide, Shimizu Niroyasu, Fujimoto Sanji, Yoshino Katsumi, Inuiishi, Yoshi-o. «Jap. J. Appl. Phys.», 1978, 17, № 2, 437—438 (англ.)

Исследована зависимость т-ры перехода в сегнетоэлектрич. фазу от давления для PbHPO<sub>4</sub> и PbHAsO<sub>4</sub> в интервале до 2 кбар. Т-ра перехода для обоих соединений линейно падает с давлением и  $dT_c/dp = -14^\circ\text{C}/\text{кбар}$  для PbHPO<sub>4</sub> и  $dT_c/dp = -12,5^\circ\text{C}$  для PbHAsO<sub>4</sub>.

Е. С. Алексеев

(+)



Ф. 1978 № 8

XIV-9771

1979

Pb<sub>3</sub>(PO<sub>4</sub>)<sub>2</sub>

18 Б952. Электронно-микроскопическое наблюдение доменной структуры в сегнетоэластической фазе фосфата свинца Pb<sub>3</sub>(PO<sub>4</sub>)<sub>2</sub>. Augoles R., Togres J., Aubree J., Roucau C., Tanaka M. Electron microscope observation of structure domains in the ferroelastic phase of lead phosphate, Pb<sub>3</sub>(PO<sub>4</sub>)<sub>2</sub>. «Appl. Phys. Lett.», 1979, 34, № 1, 4—6 (англ.).

Доменная структура в сегнетоэластич. фазе Pb<sub>3</sub>(PO<sub>4</sub>)<sub>2</sub> исследована методом электронной микроскопии с

Tez

разрешением в 10 Å. Переход I в сегнетоэластич. состояние происходит при 180° и сопровождается изменением симметрии от  $R\bar{3}m$  (ромбоэдрич.) к  $C2/c$  (монокл.). В моноclinной фазе кристалл содержит три типа доменов с различной пространственной ориентацией. Домены смешены вокруг оси, перпендикулярной плоскости (100) монокл. ячейки. Толщина стенок доменов менее 50 Å, что значительно ниже сообщаемой ранее по лит. данным (1 μм).

Л. А. Резницкий

2.1979, N18

1979



12 E594. Сегнетоэластический фазовый переход в  $\text{Pb}_3(\text{PO}_4)_2$ , вызванный давлением: изучение с помощью дифракции нейтронов. Pressure-induced ferroelastic phase transition in  $\text{Pb}_3(\text{PO}_4)_2$ . A neutron-diffraction study. Decker D. L., Petersen S., Debrey D., Lam.

берг М. «Phys. Rev.», 1979, B19, № 7, 3552—3555  
(англ.)

Нейтронографически исследована зависимость параметров решетки моноклинной  $\alpha$ -фазы  $\text{Pb}_3(\text{PO}_4)_2$  от давления. Установлено, что при  $P=20$  кбар происходит превращение  $\alpha$ -фазы в  $\beta$ -фазу с ромбоэдрич. решеткой. Дифракционные линии  $\beta$ -фазы уширены, что связывается с образованием доменной структуры. И. М. Р.

разовый  
переход

Р.1979/112

1979



И. К. Смирнов

(T+2)

5 Б547. ИК-спектры отражения  $\text{Pb}(\text{PO}_4)_2$  в а- и  $\beta$ -модификациях. Князев А. С., Поплавко Ю. М., Дудник Е. Ф. «9-е Всес. совещ. по сегнетоэлектричеству, Ростов-на-Дону, 1979. Тез. докл. Ч. 1». Ростов-на-Дону, 1979, 163

В области  $4000-30 \text{ см}^{-1}$  исследованы ИК-спектры отражения монокристаллов  $\text{Pb}_3(\text{PO}_4)_2$  при  $E \parallel c$  и  $E \perp c$  и при т-рах 120, 300 и  $455 \text{ K}$  ( $T_c = 453 \text{ K}$ ). В спектре низкот-рной а-фазы из 9 активных в ИК-спектре мод ( $6A_{2u} + 3B_u$ ) обнаружено 8 при  $1060, 1000, 955, 581, 562, 550$  и  $537 \text{ см}^{-1}$ . В спектре внешних мод. а-фазы при  $E \perp c$  ( $T = 120 \text{ K}$ ) наблюдаются максимумы отражения  $250, 225, 196, 154, 135, 125, 85 \text{ см}^{-1}$  и при  $E \parallel c$

Х1680N5

(300 К) 245, 210 170, 130, 83 см<sup>-1</sup>. В ИК-спектре  $\beta$ -фазы активны моды  $E_{u\perp}(L)$  и  $2A_{2u}(T) + E_u(T)$ . При 450 К мода  $A_{2u}$  появляется из двух низкотермических мод  $A_u$ : 220 и  $185 \rightarrow 170$  см<sup>-1</sup>. Вторая мода  $A_{2u}$  возникает выше  $T_c$  как  $130$  и  $85 \rightarrow 75$  см<sup>-1</sup>. Три моды  $E_u$  получают, по схеме:  $245 \rightarrow 255$ , 210 и  $180 \rightarrow 168$  см<sup>-1</sup>, 130 и  $83 \rightarrow 80$  см<sup>-1</sup>. Хотя частоты длинноволновых ИК-мод уменьшаются при приближении к фазовому переходу, однако это уменьшение не столь существенно, чтобы их считать ответственными за фазовый переход.

Б. В. Рассадин

$Pb_3(PO_4)_2$

IV - 9774  
1979

3 Б950. Критическое поведение полярных мод в фосфате свинца вблизи сегнетоэластического фазового перехода. Luspin Y., Servoin J. L., Gervais F. Critical behavior of polar modes in lead phosphate near the ferroelastic phase transition. «J. Phys. and Chem. Solid», 1979, 40, № 9, 661—668 (англ.)

(Tγ)

В интервале т-р от комн. до  $430^\circ$  исследованы отражательные ИК-спектры в области частот  $15—4000\text{ см}^{-1}$  для монокрист. пластинок фосфата свинца  $Pb_3(PO_4)_2$ , расколотых вдоль монокл. плоскости (100). Получены т-рные зависимости мод  $A_u$  и  $B_u$  в а-фазе и  $E_u$  мод в  $\beta$ -фазе выше т-ры сегнетоэластич. перехода при  $180^\circ$ . Показано, что частоты, затухание и сила осциллятора для различных мод носят крит. характер в низкот-рной фазе. Проведено отнесение частот спектра для обеих фаз. Проведено сравнение полученных результатов с данными измерения КР и бриллюэновского рассеяния. Обнаружено, что полярные моды низкот-рной монокл. фазы ( $C_{2h}^6$ ) существуют выше т-ры перехода. Полный переход в высокот-рную ромбоэдрич. ( $D_{3d}^5$ )  $\beta$ -фазу за-канчивается только выше  $193^\circ$ .

Г. Л. Апарников

2.10.80.НЗ

$Pb_3(PO_4)_2$

XIV-9774

1979

2 E639. Критическое поведение полярных мод в фосфате свинца вблизи сегнетоэластического фазового перехода. Critical behavior of polar modes in lead phosphate near the ferroelastic phase transition. Luspin Y., Servoin J. L., Gervais F. «J. Phys. and Chem. Solid», 1979, 40, № 9, 661—668 (англ.)

Исследована температурная зависимость ИК-спектра отражения в интервале 15—4000 см<sup>-1</sup>  $A_u$  и  $B_u$  мод в а-фазе и  $E$ -мод в  $\beta$ -фазе в  $Pb_3(PO_4)_2$  ( $T_c = 180^\circ C$ ) с помощью фурье-интерферометра. В области фазового перехода наблюдались аномалии в поведении частот, затухания и интенсивности исследованных линий. Обнаружено, что т-ра, при которой моды теряют полярный характер, на  $10^\circ$  выше, чем т-ра фазового перехода. Высказывается предположение, что существование фаз выше  $T_c$  вызвано ангармонич. взаимодействием между модами, включая мягкую моду. Данные рентгеноструктурного анализа и спектры комб. рас. также свидетельствуют о существовании моноклинной фазы выше  $180^\circ C$ .

С. Д. Прохорова

92.1050.12

*Pb<sub>3</sub>(PO<sub>4</sub>)<sub>2</sub>*

18 Б582. Комбинационное рассеяние света на мягком колебании в несобственном ферроэластике Pb<sub>3</sub>(PO<sub>4</sub>)<sub>2</sub>. Смирнов П. С., Струков Б. А., Горелик В. С., Дудник Е. Ф. «Физ. тверд. тела», 1979, 21, № 4, 1245—1247.

В области от —160 до +205° исследована температурная зависимость спектров КР (Ag<sup>+</sup>-лазер,  $\lambda$  4880 Å) в области низких частот (0—250 см<sup>-1</sup>) для монокристалла Pb<sub>3</sub>(PO<sub>4</sub>)<sub>2</sub>, (I), в к-ром наблюдается сегнетоупругий фазовый переход C<sub>2h</sub><sup>6</sup>→D<sub>3d</sub><sup>5</sup> при повышении темп. с  $T_c=180^\circ$ . В спектрах I при темпах, близких к темп. жидк. азота, наблюдается ряд резких пиков, один из которых с  $\nu=86$  см<sup>-1</sup> имеет очень большую интенсивность и предположительно относится к либрац. кол. типа A<sub>g</sub>. Низкочастотный пик 37 см<sup>-1</sup> (A<sub>g</sub>) при повышении темп. от —160° смещается в сторону низких частот, сильно уширяется и уже при  $T>160^\circ$  сливаются с возбуждающей линией. Высказано предположение, что в рассматриваемом случае проявляется мягкая мода, ответственная за сегнетоупругий фазовый переход.

Б. В. Рассадин

2.10.19, 018

1980



9763

18 Б904. Полиморфные переходы во фторапатите свинца. Вегак Józef, Dąbrowiecka Halina. Polymorphic transitions of lead fluorapatite. «Pol. J. Chem.», 1980, 54, № 1, 137—139 (англ.)

Дилатометрическими, термич. и рентгеновскими методами анализа исследовано поведение до т. пл. фторапата свинца  $\text{Pb}_{10}(\text{PO}_4)_6\text{F}_2$  (I), полученного по схеме:  $\text{PbO} + \text{NH}_4\text{H}_2\text{PO}_4 \rightarrow \text{Pb}_3(\text{PO}_4)_2$  (II),  $\text{PbCO}_3 + \text{H}_2\text{F}_2 \rightarrow \text{PbF}_2$  (III), II + III  $\rightarrow$  I. Заключительная р-ция проводилась при 850—900° в атмосфере Ag. Дилатометрич. и термич. методы анализа показывают наличие 4 фазовых переходов от комн. т-ры до т. пл., равной  $1098 \pm 2^\circ$ . Высокоточные рентгеновские исследования указывают на отсутствие структурных изменений решетки. Последова-

тельность переходов выражается схемой:  $1098^\alpha \rightleftharpoons 970^\beta \rightleftharpoons 750^\gamma \rightleftharpoons 620^\delta \rightleftharpoons 450^\epsilon \rightleftharpoons 20^\zeta$ .

Все обнаруженные превращения обратны и эндотермичны при охлаждении.

Г. Л. Апарников

$T_{tr}, T_m$  (V) —

$BPF -$

ж 1980 № 18

PbO -  $Pb_{10}(PO_4)_6F_2$

1980

94; 91202x Lead(II) oxide-lead fluorapatite system. Berak, Jozef; Lis-Dabrowiecka, Halina (Inst. Technol. Przem. Chem. Spozyw., Akad. Ekon., Wroclaw, Pol.). *Pr. Nauk. Akad. Ekon. im. Oskara Langeego Wroclawiu*, 1980, 159, 395-6 (Pol). As a part of the investigation of the PbO-P<sub>2</sub>O<sub>5</sub>-PbF<sub>2</sub>, the binary system PbO-Pb<sub>10</sub>(PO<sub>4</sub>)<sub>6</sub>F<sub>2</sub> was examd. in the entire region of cones, by thermal, microscopic, x-ray and dilatometric methods. A phase diagram is presented for the binary system, showing an eutectic at 780° contg. 40 wt.% Pb fluoroapatite. Z. Sterbacek

grzobas  
quartz.

P.A.1981.94 v12

PbHPO<sub>4</sub>(aq)      Lommel 10913      1980.  
Clever H. L; et al.

( $\delta f_f$ ;  $k_p$ )      J. Phys. Chem. Ref. Data,  
1980, 9(3), 751-84.

1980

# Pb<sub>3</sub>(PO<sub>4</sub>)<sub>2</sub>

3 Е596. Диэлектрические и упругие свойства ортофосфата свинца. Дудник Е. Ф., Мнушкина И. Е., Непочатенко В. А., Волнянский М. Д. «Сегнетоэлектрики и пьезоэлектрики». Калинин, 1980, 24—32

Исследованы диэлектрические и упругие свойства монокристаллов ортофосфата свинца в широком интервале т-р. Обнаружены максимум диэлектрич. проницаемости при  $T=300^{\circ}\text{C}$  и скачкообразное изменение упругих податливостей при ферроупругом фазовом переходе.

Автореферат

Tr

ф. 1981 N 3

1980



*параллель  
пересечки*

6 Б377. Структура свинцового апатита  $\text{Pb}_9(\text{PO}_4)_6$ .  
 Ната М., Магимо Ф., Ивай С., Аоки Н. Structure of a lead apatite  $\text{Pb}_9(\text{PO}_4)_6$ . «Acta crystallogr.», 1980, В 36, № 9, 2128—2130 (англ.)

Рентгенографически определена (методы порошка, Вейсенберга, прецессии и дифрактометра, МНК, анизотропное приближение,  $R=0,043$  для 490 отражений) структура кристаллов  $\text{Pb}_9(\text{PO}_4)_6$  (I), выращенных гидротермальным взаимодействием  $\text{Pb}(\text{CH}_3\text{COO})_2 \cdot 3\text{H}_2\text{O}$  и  $\text{K}_2\text{HPO}_4$  при т-ре 473 К с послед. прокаливанием при 1363 К. Параметры гексагон. решетки I:  $a = 9,826$ ,  $c = 7,357$ ,  $Z = 1$ , ф. гр.  $P6_3/m$ . Установлено, что структура I полностью аналогична структуре апатита и характе-

ризуется почти правильным строением тетраэдров  $\text{PO}_4$  ( $\text{P}-\text{O} 1,55, 1,56$  Å) и 9-кратной координацией атомов Pb ( $\text{Pb}-\text{O} 2,30—2,94$  Å). По ИК-спектрам подтверждено отсутствие в структуре групп OH.

С. В. Соболева

22.1981.№

1980

PbHPO<sub>4</sub>

Nelmes R. F.,

Ferroelectrics, 1980, 24,  
N1-4, 237-245.

пироэл.  
перехож.  
кристал.  
сmp - pa

(алл. RbH<sub>2</sub>PO<sub>4</sub>; I)

$Pb_3(PO_4)_2$

1980

3 E597. Электронно-микроскопическое исследование доменной структуры в сегнетоэластической фазе ортофосфата свинца  $Pb_3(PO_4)_2$ . Electron microscopy study of the domain structure in the ferroelastic phase of lead phosphate  $Pb_3(PO_4)_2$ . Torres J., Ayroles R., Roucau C., Takana M. «Ferroelectrics», 1980, 29, № 1—2, 65—66 (англ.)

Крист.  
структур

С помощью электронномикроскопич. техники высокого разрешения установлено, что доменная стенка в ортофосфате свинца имеет малую толщину ( $\sim 50$  Å). Раньше в литературе называлась толщина  $\sim 10^4$  Å. Геометрия доменной структуры (ДС) согласуется с условиями упругой совместности. Наблюдалась зигзагообразная ДС в виде цепочки доменов, пересекающей систему плоско-парал. доменов, уменьшающая упругую энергию системы.

В. Н. Федосов

Ф. 1981 № 3

Pb(PO<sub>4</sub>)<sub>2</sub>

1980

11 Б607. Температурная зависимость спонтанного двупреломления в сегнетоэластике ортофосфате свинца.  
Wood I. G., Wadhawan V. K., Glazer A. M.  
Temperature dependence of spontaneous birefringence in ferroelastic lead orthophosphate. «J. Phys. C: Solid State Phys.», 1980, 13, № 27, 5155—5164 (англ.)

Tet

Метод вращения анализатора использован для пра-  
ционального измерения т-рной зависимости спонтанного  
двупреломления ( $\Delta n$ ) в выращенных методом Чохраль-  
ского монокристаллах сегнетоэластика Pb(PO<sub>4</sub>)<sub>2</sub>. Теоре-  
тически рассмотрена связь между двупреломлением и  
спонтанной деформацией. На полученной эксперимен-  
тально зависимости  $\Delta n(T)$  выделен участок от 160° до  
точки фазового перехода (177,5°), к-рый характеризует-  
ся хорошим согласием данных расчета с эксперимен-  
том. Ниже 160° теория дает несколько заниженные  
значения  $\Delta n$ .

И. А. Клейнман

д. 1981. N 11

$Pb_3(PO_4)_2$

1981

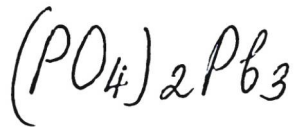
3 E561. Динамика сегнетоэластического фазового перехода в фосфате свинца  $Pb_3(PO_4)_2$ . Dynamics of the ferroelastic phase transition of lead phosphate  $(PO_4)_2Pb_3$ . Benoit J. P., Неппийон В., Lambert M. «Phase Transit.», 1981, 2, № 2, 103–112 (англ.).

Методом неупругого рассеяния нейтронов исследована моноклинная локальная симметрия в ромбоэдрич. паралл. эластич. фазе кристалла  $Pb_3(PO_4)_2$ . Показано, что мягкая мода, являющаяся недодемпфированной при высоких  $T$ -рах, становится передемпфированной в интервале  $180 \div 300^\circ C$  ( $T_c = 180^\circ C$ ). Результаты эксперимента интерпретированы в рамках релаксационной модели. В предположении, что время жизни  $\tau$  флюктуационных доменов зависит от  $T$ -ры как  $\tau = \tau_0 / (T - T_0)$ , найдено, что  $T_0 = 175^\circ C$  и  $\tau_0 = 1,5 \cdot 10^{-10} \text{ с.}^\circ C$ .

Н. Р. Иванов

φ. 1982, 18, N 3.

1981



/ 95: 195425j Dynamics of the ferroelastic phase transition of lead phosphate  $(PO_4)_2Pb_3$ . Benoit, J. P.; Hennion, B.; Lambert, M. (Lab. Phys. Crist., Univ. Paris-Sud, Orsay, Fr.). *Phase Transitions* 1981, 2(2), 103-12 (Eng). The monoclinic local symmetry in the high-temp. rhombohedral phase of  $Pb_3(PO_4)_2$  was studied by inelastic neutron scattering at 180-300° ( $T_c = 180^\circ$ ). The scattering is inelastic: it appears to be given by an "overdamped soft mode" below 300°. The frequency of this mode cannot be detd. absolutely. The exptl. results are interpreted in terms of a relaxation process; the variation with temp. of the life-time  $\tau$  is well described by a  $(T - T_0)^{-1}$  law which gives an extrapolated value of  $\tau = 3 \times 10^{-11}$  s at  $T_c$ .

$T_{cr}$

C.A. 1981, 95, N22.

1981

8 Σ1629. Температурная зависимость параметров решетки монокристаллов  $\text{PbHPO}_4$  и  $\text{PbDPO}_4$ . Temperature dependence of lattice parameters of  $\text{PbHPO}_4$  and  $\text{PbDPO}_4$  single crystals. Horváth J., Kucharczuk D. «Phys. status solidi», 1981, A63, № 2, 687—692 (англ.; рез. франц.)

Рентгенографически исследованы параметры решетки  $\text{PbHPO}_4$  и  $\text{PbDPO}_4$  при т-рах 273—373 К. Для параметра  $b$  заметен чёткий минимум в точке фазового перехода в  $\text{PbHPO}_4$  ( $T_c = 310$  К). У  $\text{PbDPO}_4$   $b$  убывает с ростом т-ры (в исследованном интервале т-р не достигается точка перехода, равная 440 К). Отмечается большое сходство в поведении постоянных решетки указанных соединений.

В. Е. Зиновьев

Б2

$\text{PbHPO}_4$

Т2-2

Ф1981.18

1981

PbHPO<sub>4</sub>

(kg.)

Tc

94: 130598c Temperature dependence of lattice parameters of lead(II) hydrogen phosphate and lead(II) deuterium phosphate single crystals. Horvath, J.; Kucharczyk, D. (Inst. Phys., Czechoslovak Acad. Sci., Prague, Czech.). *J. Phys. Status Solidi A* 1981, 63(2), 887-92. (Eng). Lattice parameters of PbHPO<sub>4</sub> single crystals were measured in the vicinity of ferroelec. phase transition  $T_c = 310$  K. Measurements of the deuterated form PbDPO<sub>4</sub> were performed only in the ferroelec. phase because of changes of defect structure at higher temps. This behavior of the defect structure is analogous in both the materials.

C.A. 1981, 94N16

1981

PbHPO<sub>4</sub>  
PbDPO<sub>4</sub>

16 Б513. Температурная зависимость параметров решетки монокристаллов PbHPO<sub>4</sub> и PbDPO<sub>4</sub>. Ногвáт J., Kucharczyk D. Temperature dependence of lattice parameters of PbHPO<sub>4</sub> and PbDPO<sub>4</sub> single crystals. «Phys. status solidi», 1981, A63, № 2, 687—692 (англ.; рез. франц.)

Исследована (дифрактометр,  $\lambda$  Cu) зависимость параметров кристаллов PbHPO<sub>4</sub> (I) и PbDPO<sub>4</sub> (II) приблизительно точки фазового перехода из ферроэлектрич. (ф. гр.  $Pc$ ) в параэлектрич. (ф. гр.  $P2/c$ ) фазу. Для прецизионного

ite

X.1981.N/16

определения параметров использованы отражения 600, 080, 406 ( $\text{CuK}_\alpha$ ) и 008 ( $\text{CuK}_\beta$ ). Параметры I изменяются от  $a = 0,468313$ ,  $b = 0,664426$ ,  $c = 0,577998$  Å,  $\beta = 97,1394^\circ$  при т-ре 298 К до  $a = 0,468500$ ,  $b = 0,664347$ ,  $c = 0,578404$  нм,  $\beta = 97,1611^\circ$  при 330,7 К; причем  $a$ ,  $c$ ,  $\beta$  изменяются линейно, а  $b$  в точке перехода 309 К имеет минимум  $b = 0,664194$  нм. Параметры II увеличиваются линейно в пределах от 293,5 до 364,4 К;  $a = 0,468186 - 0,468593$ ,  $b = 0,667804 - 0,667567$ ,  $c = 0,578167 - 0,578960$  нм,  $\beta = 97,1386 - 97,1844^\circ$ . Объем элементарной ячейки I в интервале т-р 298—308 К остается постоянным, при повышении т-ры монотонно увеличивается до т-ры перехода. Объем ячейки II постоянно увеличивается при нагревании от 293 до 374 К. Проведен анализ тензора термич. расширения.

И. С. Наумова



10 В52. Исследование устойчивости простых и протонированных пирофосфатных комплексов свинца (II). Кондратьев В. В., Кравцов В. И., Винокуров И. А. «Электрохимия», 1981, 17, № 2, 248—252

и др. пишите  
согласно

(Кс)

Потенциометрическим и спектрофотометрич. методами изучено комплексообразование  $Pb(2+)$  с пирофосфат-ионами в 1 М  $NaNO_3$  и  $NaClO_4$  при рН 5,5—9,5. Показано, что при постоянных значениях рН (6,0—9,5) и конц-ии пирофосфата натрия ( $5 \cdot 10^{-3}$ — $1 \cdot 10^{-1}$  М) потенциал электрода из насыщ. амальгамы свинца линейно зависит от  $\lg c_{Pb(2+)}$  с угловым коэф. около 30 мВ. В р-рах с рН 6—8 установлено образование протонированных пирофосфатных комплексов  $Pb(HP_2O_7) \cdot (P_2O_7)^{5-}$  и  $Pb(HP_2O_7)_2^{4-}$ , а в р-рах с рН 8—9 — одноядерных  $PbP_2O_7^{2-}$  и  $Pb(P_2O_7)_2^{6-}$ . Наблюдавшееся при  $pH < 6$  изменение во времени потенциала амальгамы свинца и оптич. плотности р-ра объяснено протеканием в р-ре процесса полимеризации комплексов  $Pb(2+)$ .

Резюме

ж 1981 № 10

PbHPO<sub>4</sub>

1981

Lefaucheux F., et al.

cesijs  
kristalns

J. Cryst. Growth,  
1981, 51, N3, 551-556.

● (ces. CaHPO<sub>4</sub> · 2 H<sub>2</sub>O; T)

P<sub>6</sub>HPO<sub>4</sub>

Lommel 11522

1981

López-Echarri et al.,  
et al.

(T<sub>tr</sub>)

(C<sub>P</sub>)

Solid State Commun.,  
1981, 38, 383-87.

PbHPO<sub>4</sub>

1981

21 Б808. Поведение теплоемкости ферроэлектрика PbHPO<sub>4</sub>. López-Echagüe A., Tello M. J., Juárez M. A. P. Specific heat behaviour of the ferroelectric PbHPO<sub>4</sub>. «Solid State Commun.», 1981, 38, № 5, 888—895 (англ.)

В адиабатич. калориметре измерена теплоемкость  $C_p$  PbHPO<sub>4</sub> в интервале 50—330 К. Максим. значение  $C_p$  при фазовом переходе соответствует  $T_c = 307,75 \pm 0,09$  К. В области 220—330 К решеточная часть  $C_p$  описана функцией Дебая с  $Q_D = 700$  К. Для фазового перехода вычислены  $\Delta H = 63,2 \pm 3$  кал/моль и  $\Delta S = 0,221 \pm 0,007$  э. е. Последовательные измерения  $C_p$  вблизи фазового перехода выявили его т-рный гистерезис. Поведение  $C_p$  при фазовом превращении описано в рамках феноменологич. и статистич. теорий. Отмечено, что переход является фазовым превращением 2-го рода типа ферро-параэлектрик. Значения крит. постоянных теплоемкости  $\alpha_+$  и  $\alpha_-$  соответствуют классич. в области  $|T - T_c| < 0,1$  К.

Г. К. Деменский

(C<sub>P</sub>)

$\Delta H_{\text{тг}}$ ;  $T_{\text{тг}}$

Х. 21. 1981

PbHPO<sub>4</sub>

1981

T<sub>c</sub>, C<sup>0</sup>,

95: 13800x Specific heat behavior of the ferroelectric lead hydrogenphosphate. Lopez-Echarri, A.; Tello, M. J.; Jubindo, M. A. P. (Fac. Cienc., Univ. Pais Vasco, Bilbao, Spain). *Solid State Commun.* 1981, 38(5), 383-7 (Eng). Sp. heat measurements of PbHPO<sub>4</sub> confirm the 2nd order character for the Ferro-paraelec. phase transition at  $T_c = 307.75 \pm 0.09$  K. A comparison between the exptl. results and phenomenol. and statistical theories is carried out. The classical crit. behavior for both  $\alpha+$  and  $\alpha-$  are shown to be valid up to  $|T - T_c| < 0.1$  K.

C.A. 1981, 95, N<sup>2</sup>.

1981

$Pb_3(PO_4)_2$

, 10 Б948. Модель Поттса и фазовый переход в фосфате свинца  $Pb_3(PO_4)_2$ . Salje E., Devarajap V. Potts model and phase transition in lead phosphate  $Pb_3(PO_4)_2$ . «J. Phys. C: Solid State Phys.», 1981, 14, № 33, L1029—L1035 (англ.)

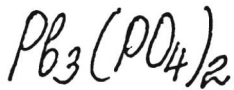
$T_{c2}$

Сделана попытка объяснения сегнетоупругого фазового перехода 1-го рода при  $T=180,4^{\circ}\text{C}$  и присутствии промежут. фазы ( $180,4$ — $300^{\circ}\text{C}$ ) в  $Pb_3(PO_4)_2$  на основе трехмернойrenomированной модели Поттса. Введено три параметра порядка с двумя различными т. крит. Объяснено аномальное поведение спонтанной деформации между  $160^{\circ}\text{C}$  и  $180^{\circ}\text{C}$ , поведение упругих коэф. жесткости  $C_{11}$  и  $C_{22}$  и крит. поведение мягкой моды.

С. К. Карепанов

X. 1982, 19, N10.

1981



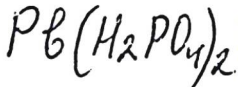
6 E537. Модель Поттса и фазовый переход в фосфате свинца  $\text{Pb}_3(\text{PO}_4)_2$ . Potts model phase transition in lead phosphate  $\text{Pb}_3(\text{PO}_4)_2$ . Salje E., Devarajan V. «J. Phys. C: Solid State Phys.», 1981, 14, № 33, L1029—L1035 (англ.)

$T_{E2}$

В  $\text{Pb}_3(\text{PO}_4)_2$  (I) наблюдается фазовый переход первого рода при  $T = 180,4^\circ\text{C}$ . При температурах от  $180,4^\circ\text{C}$  до  $300^\circ\text{C}$  существует промежуточная (между ферро- и паразой) фаза. Показано, что наличие промеж. фазы следует непосредственно из рассмотрения трехмерной перенормированной модели Поттса при введении трех вторичных параметров порядка, преобразующихся неэквив. образом. Скачкообразный характер структурного превращения в I обусловлен двумя процессами: а) при  $\sim 290^\circ\text{C}$  начинают конденсироваться три моды на поверхности зоны Бриллюэна, вызывая статич. смещения ионов Pb вдоль трех симметрично-эквив. направлений, (б) при  $187,4^\circ\text{C}$  два из трех параметров порядка становятся критичными, приводя к понижению симметрии от тригональной до моноклинистой. Приведено объяснение аномального поведения спонтанной деформации и компонент упругой жесткости вблизи перехода. Библ. 31.

И. О. Майер

ф. 1982, 18, № 6.



21 Б468. Структура бис-(дигидрофосфата) свинца.  
Vasić P., Prelesnik B., Negak R., Curić M.  
Structure of lead bis(dihydrogenphosphate). «Acta  
crystallogr.», 1981, B37, № 3, 660—662 (англ.)

Растворением  $Pb(HPO_4)$  в конц.  $H_3PO_4$  при 453 К с последующим медленным охлаждением получены кристаллы  $Pb(H_2PO_4)_2$  (I). Проведено рентгеноструктурное исследование (дифрактометр,  $\lambda$  Mo, анизотропное приближение, 1730 отражений,  $R=0,099$ ) кристаллов I. Параметры трикл. решетки I:  $a = 9,029$ ,  $b = 5,863$ ,  $c = 7,815$  Å,  $\alpha = 96,92^\circ$ ,  $\beta = 119,56^\circ$ ,  $\gamma = 104,92^\circ$ ,  $\rho$  (выч.) 4,03,  $Z=2$ , ф. гр.  $P\bar{1}$  (тест на ацентричность не проводился по причине гигроскопичности кристаллов). Структуру I формируют  $H_2PO_4$ -тетраэдры и несимм. семивершинники  $PbO_7$ , к-рые, объединяясь по ребрам, образуют бесконечные цепочки. Основные межатомные расстояния в I:  $P—O = 1,507—1,597$ ,  $Pb—O = 2,444—2,880$ ,  $Pb—Pb = 3,917$  Å, углы  $OPO = 102,3—117,2^\circ$ . Расстояния  $O\dots O$  между соседними фосфатными группами ( $2,46—2,74$  Å) четко указывают на положения H-атомов и систему H-связей. Соединение  $PO_4$ -групп симметричными H-связями позволяет предположить существование у I сегнетоэлектрич. св-в. Проведено сравнение I со структурами кислых фосфатов Ca, Ba, Cs, Tl. В. Б. Калинин

Кристал.  
структур

Х-21. 1981

P08 Feb 13

1982

99: 201215s Octalead phosphate-lead fluoroapatite system.  
Berak, Jozef; Lis-Dabrowiecka, Halina (Inst. Technol. Przem. Chem. Szkoły Akad. Ekon., Wrocław, Pol.). *Pr. Nauk. Akad. Ekon. in. Oskara Langego Wrocławiu* 1982, 200, 209-10 (Pol). The binary system  $Pb_8P_2O_{13}$ - $Pb_{10}(PO_4)_6F_2$  was studied by thermal, microscopic, x-ray, and dilatometric methods and its phase diagram was constructed. The components form an eutectic contg. 10 wt.% fluorapatite at  $810^\circ$ . Polymorphic transitions of Pb fluorapatite at  $970$ ,  $800$ ,  $620$ , and  $460^\circ$  were confirmed. Three new polymorphic transitions of the phosphate were obsd. at  $700$ ,  $580$ , and  $420^\circ$ .

Tet;

☒ (4)

C.A. 1983, 99, N 24

$Pb_8P_2O_{13}$

$Pb_{10}(PO_4)_6F_2$

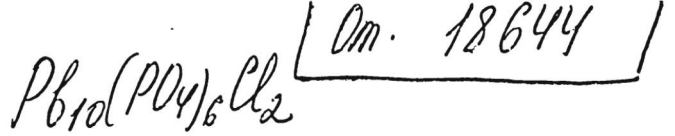
1982

> 10 Б943. Система фосфат октасвинца—свинцовый фторапатит. Układ fosforan ośmioolowiawy-fluoroapatyt olowiawy. Bergak Józef, Lis-Dąbrowiecka Halina. «Pr. nauk. AE Wrocławiu», 1982, № 200, 209—213 (пол.; рез. англ.)

С помощью термич. анализа, микроскопии, рентгеновского анализа и дилатометрии изучена бинарная система  $Pb_8P_2O_{13}$  (I) —  $Pb_{10}(PO_4)_6F_2$  (II). Представлена фазовая диаграмма системы, в к-рой образуется эвтектика при 10% II с т. пл. 810 °C. Подтверждены полиморфные превращения II при 970, 800, 620 и 460° C. Установлено наличие трех новых полиморфных превращений I при 700, 580 и 420° C.

Резюме

Х. 1983, 19, N 10



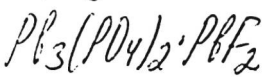
1982

Berał J., Dąbrowiecka H.,

полиморфн.  
перехідн.

Pol. J. Chem., 1982,  
56, N 7-9, 1165-1168

1982



Л 13 Б3684. Фазовые равновесия в тройной системе  $\text{Pb}_3(\text{PO}_4)_2$ — $\text{PbF}_2$ — $\text{PbCl}_2$ . Phase equilibria in the ternary system  $\text{Pb}_3(\text{PO}_4)_2$ — $\text{PbF}_2$ — $\text{PbCl}_2$ . Bergak Józef. Dąbrowiecka Halina. «Pol. J. Chem.», 1982, 56, № 10—12, 1223—1235 (англ.; рез. пол.)

С помощью ДТА, ТГА, хим., микроскопич., рентгенофотографич. и дилатометрич. методов изучены фазовые соотношения в системе  $\text{Pb}_3(\text{PO}_4)_2$ (I)— $\text{PbF}_2$ (II)— $\text{PbCl}_2$ (III). Образцы приготовлены нагреванием соотв. смесей I—III в вакуумированных ампулах или в среде аргона. Представлены фазовые диаграммы систем I—II, I—III и II—III, а также тройной системы I—II—III. В системе I—II подтверждено образование фторапатита свинца 3I-II, к-рый плавится конгруэнтио при  $1098 \pm 2^\circ\text{C}$ . Установлено также образование эвтектик при 0,61% II с т. пл.  $1000^\circ\text{C}$  и 77,65% II с т. пл.  $700^\circ\text{C}$ . Полиморф. превращения 3I-II соответствуют  $970$ ,  $800$ ,  $620$  и  $450^\circ\text{C}$ , II— $720$ ,  $560$ ,  $460$  и  $340^\circ\text{C}$ , I— $171$ ,  $540$ ,  $680$  и  $850^\circ\text{C}$ . В системе I—III

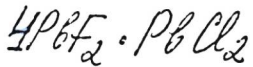
$T_m$ ,  $T_{f1}$

☒ (72)

ж. 1984, 19, № 13

$3\text{Pb}_3(\text{PO}_4)_2 \cdot \text{PbCl}_2$ ,

подтверждено образование хлорапатита свинца 3I-III,  
к-рый плавится конгруэнтно при  $1156 \pm 2^\circ\text{C}$ , а также  
двух эвтектик при 0,69 и 86,69% III с т. пл. 996 и  
 $485^\circ\text{C}$  соотв. Подтверждены лит. данные о наличии  
полиморфных превращений 3I-III при 990, 810, 650 и  
 $490^\circ\text{C}$ , а также III при  $420^\circ\text{C}$ . В системе II—III  
образуются соединения I-II и 4II-III с т. пл. 600 и  
 $570^\circ\text{C}$  соотв. Подтверждено наличие эвтектик при  
8,92 и 76,63% II с т. пл. 450 и  $550^\circ\text{C}$  соотв. Обнару-  
жены полиморф. превращения I-II при  $480^\circ\text{C}$ ,  
4II-III — при  $440^\circ\text{C}$ . В системе I-II-III не обна-  
ружено новых хим. соединений. Большую часть диа-  
грамммы занимает поле кристаллизации 3I-III и его  
тв. р-ров с 3I-II.  
Л. Г. Титов



льцы  
ловы

$Pb_3(PO_4)_2$

1982

100: 145780x Phase equilibria in the ternary system lead(II) phosphate-lead(II) fluoride-lead(II) chloride. Berak, Jozef; Dabrowiecka, Halina (Sch. Econ., Fac. Eng. Econ., 53345 Wroclaw, Pol.). *Pol. J. Chem.* 1982, 56(10-12), 1223-35 (Eng). The  $Pb_3(PO_4)_2$ - $PbF_2$ - $PbCl_2$  system was studied by thermal, microscopic, x-ray and dilatometric analyses and the corresponding phase diagram given. No new compds. are formed. New polymorphic transitions are given for  $Pb_3(PO_4)_2$ ,  $Pb_2Cl_2F_2$ , and  $Pb_5Cl_2F_8$ .

$T_{tr}$



C.A. 1984, 100, N18



1982

6 Б474. Кристаллическая структура  $\text{Pb}_2(\text{NO}_3)(\text{PO}_4) \cdot \text{H}_2\text{O}$ . Die Kristallstruktur von  $\text{Pb}_2(\text{NO}_3)(\text{PO}_4) \cdot \text{H}_2\text{O}$ . Deppisch B., Naschwitz W. «Z. Kristallogr.», 1982, 159, № 1—4, 31—32 (нем.)

Рентгенографически определена (МНК, анизотропное приближение,  $R = 2,0\%$  для 2041 отражения) структура кристаллов  $\text{Pb}_2(\text{NO}_3)(\text{PO}_4) \cdot \text{H}_2\text{O}$  (I), полученных в качестве побочного продукта при синтезе  $\text{PbHPO}_4$ . Параметры монокл. решетки:  $a = 9,543$ ,  $b = 7,297$ ,  $c = 10,539$ ,  $\beta = 106,28^\circ$ ,  $Z = 2$ , ф. гр.  $P2_1/c$ . Изолированные тетраэдры  $\text{PO}_4$  и группировки  $\text{NO}_3$  располагаются слоями, параллельными плоскости  $ab$ , при этом плоскости треугольников  $\text{NO}_3$  ориентированы примерно перпендикулярно плоскости  $ab$ . Атомы Pb, соединяющие слои, находятся в 8-кратной координации ( $\text{Pb}-\text{O} = 2,39-3,14 \text{ \AA}$ ).

С. В. Соболева

Кристал  
структур

ж. 1983, 19, N 6

$Pb_8P_2O_{13}$ .

1982

Киоссе Т. А., Диг-  
рекционногорп. кур Е. С. Усп.

и оптич.  
исследовани.  
Кристаллогра-  
фия, 1982, 24,  
N<sup>6</sup>, 1189-1190.  
( cur.  $Pb_8V_2O_{13}$ ; I )

*Pb<sub>3</sub>(PO<sub>4</sub>)<sub>2</sub>*

*1982*

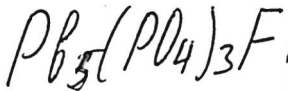
9 Е561. Исследование взаимодействия между сегнетоэластическими доменными границами и структурными переходами в фосфате свинца с помощью электронной микроскопии. I. Экспериментальные результаты. Investigation of the interactions between ferroelastic domain walls and of the structural transition in lead phosphate observed by electron microscopy. I. Experimental Results. Torgès J., Roucau C., Augoles R. «Phys. status solidi», 1982, A70, № 2, 659—669 (англ.; рез. фр.)

*Tc;*

Методом ПЭМ исследована доменная структура фосфата свинца в температурной области 20—340° С. Вблизи пересечения границ сегнетоэластич. доменов обнаружено существование внутренних напряжений. Наблюдались пересечения трех доменных границ. Обнаружено существование двух типов игольчатых доменов и предложен механизм образования таких доменов. Исследовано влияние т-ры на доменную структуру и установлено, что выше т-ры перехода  $T_c = 180^\circ \text{ С}$  существует новая сегнетоэластич. фаза. Библ. 24. В. И. Петров

*оф. 1982, 18, N 9.*

1982



2 Б470. Кристаллическая структура синтетического фтор-пиromорфита  $\text{Pb}_5[\text{PO}_4]_3\text{F}$ . Белоконева Е. Л., Тронева Е. А., Демьянцев Л. Н., Дудеров В. Г., Белов Н. В. | «Кристаллография», 1982, 27, № 4, 793—794

Выполнено рентгеноструктурное исследование  $\text{Pb}_5(\text{PO}_4)_3\text{F}$  ( $\lambda$  Mo, 500 отражений, анизотропный МНК до  $R = 0,049$ ). Кристаллы гексагон.,  $a = 9,760$ ,  $c = 7,300$  Å, ф. гр.  $P6_3/m$ . Координация атомов Pb сходна с координацией двухвалентных катионов в других апатитах: Pb<sub>(2)</sub> координирован по тригон. призме (Pb—O 2,475 и 2,756 Å); находящиеся над центрами боковых граней 3 атома O делают призму девятивершинником (Pb—O 2,926 Å). В двух тройках Pb<sub>(1)</sub>-восьмивершинников, развернутых вокруг оси  $b_3$ , расстояния Pb—6O 2,567—2,840 Å, Pb—2F 2,961 Å. Три пары атомов P в структуре связаны 3 осями  $2_1$  в изолированных тетраэдрах (P—O 1,533—1,589 Å). Отмечены большие тепловые колебания атома F в структуре, особенно вдоль каналов (оси c).

И. Л. Ф.

Кристал-  
структур

X.1983, 19, N2

PbPO<sub>3</sub>F(K)

[Om. 17454]

1983

Bottomley G.A.,  
Farrow J.B., et al.,  
Aust. J. Chem., 1983,  
36, 649-64.

PbHPO<sub>4</sub>

1983

✓ 12 Б2053. Определение параметров решетки моно-  
кристаллов PbHPO<sub>4</sub> методом отношений. Lattice-parameter  
measurements of PbHPO<sub>4</sub> single crystals by the ratio  
method. Ногváth J. «J. Appl. Crystallogr.»,  
1983, 16, № 6, 623—628 (англ.) Место хранения  
ГПНТБ СССР

Изучена т-рная зависимость параметров решетки  
PbHPO<sub>4</sub> в интервале т-р 158—421° К. Ниже ферро-  
электрич. перехода (T 310 K) *b* нелинейно растет с  
уменьшением т-ры, *a* и *c* линейно уменьшаются. Па-  
раметры решетки определены рентгенографически (λ  
Cu, цилиндрич. камера *d* 114 мм) методом отношений.  
Проведено сравнение метода отношений и метода  
Бонда определения параметров решетки. Первый метод  
более удобен для поликрист. материалов, 2-й позволяет  
получать более точные результаты. Э. П. Терентьев

X. 1984, 19, № 12

$Pb_3(PO_4)_2$

1983

12 Б1000. Электронномикроскопическое исследование структуры внутренних областей ферроупругой фазы фосфата свинца. Etude par microscopie électronique de la structure des parois de domaines dans la phase ferroélastique du phosphate de plomb. Roucau C., Augolet R., Torres J. «J. phys. France», 1983, 44, № 2, 141—145 (фр.; пер. англ.)

T  
t<sub>2j</sub>

Исследована с помощью просвечивающего электронного микроскопа структура ферроупругой фазы  $Pb_3(PO_4)_2$ . Подтверждено, что при ферроупругом прозрашении, происходящем при т-ре  $180^\circ$ , имеют место структурные изменения, заключающиеся в снижении крист. симметрии и переходе от пространственной группы  $R\bar{3}m$  к  $C2/c$ . Определена локальная структура фаз. Оценена толщина стенок доменов, составившая  $<50 \text{ \AA}$ , и показано, что упругие напряжения возникают, в основном, в соединениях стенок, что сопровождается значит. деформациями. Полученные результаты объяснены с позиций теории дислокаций.

А. Е. Вольпян

Х. 1983, 19, N/2

*Pb<sub>3</sub>(PO<sub>4</sub>)<sub>2</sub>*

1983

5 E591. Измерения теплоемкости и критические показатели при сегнетоэластических фазовых переходах в  $Pb_3(PO_4)_2$  и  $Pb_3(P_{1-x}As_xO_4)_2$ . Specific-heat measurements and critical exponents of the ferroelastic phase transition in  $Pb_3(PO_4)_2$  and  $Pb_3(P_{1-x}As_xO_4)_2$ . Sa-  
lje E., Wrück B. «Phys. Rev. B: Condens. Matter», 1983, 28, № 11, 6510—6518. (англ.)

Сегнетоэластические фазовые переходы в  $Pb_3(PO_4)_2$  и  $Pb_3(P_{1-x}As_xO_4)_2$  сопровождаются аномалией теплоемкости, которая характеризуется наличием большого избыточного вклада выше температуры перехода  $T_c$  и критич. кроссовером в области выше и ниже  $T_c$ . Критич. показатели теплоемкости, составляющие  $\alpha' = 0,363, 0,360,$  и  $0,361$  для  $Pb_3(PO_4)_2, Pb_3(P_{0,97}As_{0,03}O_4)_2$  и  $Pb_3(P_{0,2}As_{0,8}O_4)_2$  соответственно согласуются с теоретически предсказанными в модели Поттса при  $q=3$  и  $d=2$ . Поведение теплоемкости выше  $T_c$  с учетом результатов экспериментов по рассеянию нейтронов и комб. рас. све-

71

□

об. 1984, 18, N5

*Pb<sub>3</sub>(P<sub>1-x</sub>As<sub>x</sub>O<sub>4</sub>)<sub>2</sub>*

та указывает на существенную роль динамич. флуктуаций в  $Pb_3(PO_4)_2$  и наличие статической промеж. фазы в смешанных кристаллах. В  $Pb_3(PO_4)_2$  наблюдается прямая пропорциональность энтропии  $\Delta S$  и спонтанного двупреломления  $\Delta p_{\nu c}$  вплоть до 415 К. Нелинейность этой зависимости, проявляющаяся в окрестности фазового перехода (453,6 К), интерпретируется в рамках теории, использующей многокомпонентный параметр порядка. Библ. 31.

А. Отко

$Pb_3(PO_4)_2$

1983

9 Б3011. Измерения теплоемкости и критических экспонент в области сегнетоэлектрических фазовых переходов в  $Pb_3(PO_4)_2$  и  $Pb_3(P_{1-x}As_xO_4)_2$ . Specific-heat measurements and critical exponents of the ferroelastic phase transition in  $Pb_3(PO_4)_2$  and  $Pb_3(P_{1-x}As_xO_4)_2$ . Salje E., Wrück B. «Phys. Rev. B: Condens. Matter», 1983, 28, № 11, 6510—6518 (англ.)

Теплоемкость  $C_p$  сегнетоэлектриков  $Pb_3(PO_4)_2$  (I),  $Pb_3(P_{0,97}As_{0,03}O_4)_2$  (II) и  $Pb_3(P_{0,2}As_{0,8}O_4)_2$  (III) измерена в интервале 350—650 К в калориметре DSC-2C. Измерения проводились при скорости нагревания 10 К/мин, отклонения от сглаженных значений  $<0,2\%$ . В области т-р Кюри  $T_c$ , равных в К  $453,6 \pm 0,1$  для I,  $442,3 \pm 0,1$  для II и  $424,5 \pm 0,1$  для III, обнаружены аномалии  $C_p$ , указывающие на фазовый переход 2-го рода. Регулярная составляющая  $C_p$  аппроксимировалась уравнениями типа  $C_p = a + bT^{-1}$ ,  $a$  и  $b$  вычислялись из опытных данных при  $T > T_c$ . Энтропия превращения

$C_p, T_c, \Delta H_{tr}$

(+)(X)

X. 1984, 19, N 9

вычислялась по ур-нию  $\Delta S = \Delta H/T_c + \int_{T_c}^T \rho C_p/T dT$ , где  $\Delta H$  — скрытая теплота перехода, составляющая небольшую часть общей энталпии превращения. Значения  $\Delta H$  (кал/г),  $a$  (кал/моль·К),  $b$  (кал/моль) составляют для I 0,26; 84,92 и -8687; для II 0,24; 84,47 и -8586; для III 0,03; 88,25 и -9055.  $C_p$  в области  $T_c$  описывается экспоненциальной зависимостью с показателями экспонент 0,363 (I), 0,360 (II) и 0,36 (III), что согласуется с теорет. анализом Поттса.

Л. А. Резницкий



*Pb<sub>3</sub>(PO<sub>4</sub>)<sub>2</sub>*

1983

*G, Tc;*

(4) ~~18~~

c.A. 1984, 100, NY

100: 26653y Specific-heat measurements and critical exponents of the ferroelastic phase transition in lead(II) phosphate and lead(II) phosphate arsenate ( $Pb_3(P_{1-x}As_xO_4)_2$ ). Salje, E.; Wruck, B. (Inst. Kristallogr. Petrogr., Univ. Hannover, D-3000 Hannover, 1 Fed. Rep. Ger.). *Phys. Rev. B: Condens. Matter* 1983, 28(11), 6510-18 (Eng). The ferroelastic phase transitions in  $Pb_3(PO_4)_2$  [7446-27-7] and  $Pb_3(P_{1-x}As_xO_4)_2$  are accompanied by large excess sp. heats in a wide temp. range above  $T_c$  and crit. crossover above and below  $T_c$ . Crit. exponents of the sp. heat  $\alpha' = 0.362(4)$ ,  $0.360(5)$ , and  $0.36(1)$  for  $Pb_3(PO_4)_2$ ,  $Pb_3(P_{0.97}As_{0.03}O_4)_2$ , and  $Pb_3(P_{0.2}As_{0.8}O_4)_2$ , resp., agree with theor. predictions of a  $q = 3$ ,  $d = 2$  Potts model. Along with other exptl. results of neutron and Raman scattering, the specific-heat behavior above  $T_c$  indicates dynamical fluctuations in  $Pb_3(PO_4)_2$  and a static intermediate phase in the mixed crystals. A strict proportionality between the transition entropy "S" and the spontaneous birefringence  $\Delta n_{he}$  was obsd. in  $Pb_3(PO_4)_2 < 415$  K. Nonlinear behavior was found close to the transition point (453.6 K), which is interpreted in terms of a multicomponent order-parameter theory.

*Pb<sub>3</sub>(P<sub>1-x</sub>As<sub>x</sub>O<sub>4</sub>)<sub>2</sub>*

PbHPO<sub>4</sub>

1983

11 Б787. Изучение методом ЯКР на ядрах <sup>17</sup>O сегнетоэлектрического фазового перехода в PbHPO<sub>4</sub>. <sup>17</sup>O NQR study of the ferroelectric phase transition in PbHPO<sub>4</sub>. Seliger J., Zagag V., Blinc R. «Phys. Lett.», 1983, A93, № 3, 149—154 (англ.)

В диапазоне  $T - T_c$  —  $110 + 50^\circ\text{C}$  методом двойного резонанса <sup>17</sup>O — протон определена температурная зависимость спектров цепочек O—H...O в образцах природного PbHPO<sub>4</sub>. При  $T_c = 37^\circ\text{C}$  наблюдается сегнетоэлектрический фазовый переход 2-го рода. Выше  $T_c$  в спектре присутствовали только три линии с частотами 980, 1470 и 2455 кГц, что говорит об эквивалентности связей <sup>17</sup>O—H...O и <sup>17</sup>O...H—O и динамич. разупорядочении протона между двумя возможными положениями. Ниже  $T_c$  каждая линия расщепляется на две компоненты, что говорит о замораживании протона в одном из возможных равновесных сегнетоэлектрических состояний. Определен параметр порядка низкотемпературной фазы. В. А. Ступников

$T_c$ ,

X, 1983, 19, N 11

$\text{Pb}(\text{H}_2\text{PO}_4)_2$  1983

Tjarkir N.,

Solid State Commun.,

Gp; Ttz; 1983, 45, N2, 133-135.

(Cu. Mn $(\text{H}_2\text{PO}_4)_2 \cdot 2\text{H}_2\text{O}$ ; I)

1984

Pb<sub>2</sub>P<sub>2</sub>Se<sub>6</sub>

19 Б2037. Кристаллическая структура и спектры колебания Pb<sub>2</sub>P<sub>2</sub>Se<sub>6</sub>. Kristallstruktur und Schwingungsspektren des Di-Blei-Hexaselenohypodiphosphates Pb<sub>2</sub>P<sub>2</sub>Se<sub>6</sub>. Becker Robert, Brockner Wolfgang, Schäfer Herbert. «Z. Naturforsch.», 1984, A39, № 4, 357—361 (нем.; рез. англ.)

Осуществлен синтез (взаимодействием элементов в вакууме при т-ре 750° С), РСТА ( $\lambda$  Mo, анизотропный МНК,  $R$  0,085 для 1388 отражений), спектроскопич. (спектры ИК и КР) и ДТА исследование кристаллов Pb<sub>2</sub>P<sub>2</sub>Se<sub>6</sub>. Параметры монокл. решетки:  $a$  9,742,  $b$  7,662,  $c$  6,898 Å,  $\beta$  91,44°,  $\rho$  (выч.) 6,13,  $Z$  2, ф. гр.  $Pn$ ; т-ра плавления 785° С. Для I установлена изотипность Pb<sub>2</sub>P<sub>2</sub>S<sub>6</sub>. Структура содержит изолированные анионы P<sub>2</sub>Se<sub>6</sub><sup>4-</sup>, образованные двумя тригон. пирамидами PSe<sub>3</sub> (P—Se 2,127—2,245 Å), соединенные контактом P—P (2,228 Å). Анионы связаны между собой катионами Pb<sup>2+</sup>, находящимися в неправильном 8-кратном окружении из атомов Se (Pb—Se 3,032—3,380 Å). Данна подробная интерпретация спектроскопич. данных, подтвердивших найденное строение структуры I.

С. В. Соболева

Кристал-спр.,  
параметры  
решетки.

ж. 1984, 19,  
N 19

$Pb_{10}(PO_4)_2F_2$

1984

$T_{tr}$

102: 120804m Long phosphate-lead fluoroapatite system. Berak, Józef; Lis-Dabrowiecka, Halina (Inst. Technol. Przem. Chom. Spozyw., Akad. Ekon., Wrocław, Pol.). *Pr. Nauk. Akad. Ekon. im. Oskara Langego Wrocławiu* 1984, 267, 464-5 (Pol). The phase diagram of the  $Pb_4P_2O_9$  -  $Pb_{10}(PO_4)_2F_2$  system was detd. by thermal, microscopic, x-ray, and dilatometric exatnn. The components formed simple eutectic mixt. at  $960^\circ$  contg. 5 wt.% of Pb fluorapatite. The solid-solid phase transformations and m.p. were at  $460$ ,  $620$ ,  $800$ ,  $970$ , and  $1098^\circ$  for Pb fluorapatite and at  $260$ ,  $480$ ,  $900$ ,  $760$ ,  $850$ , and  $980^\circ$  for  $Pb_4P_2O_9$ , resp.

A. W. Jackowski

$Pb_4P_2O_9$

( $T_{tr}$ ,  $T_m$ )

C.A. 1985, 102, N 14.

$Pb_3(PO_4)_2$  1984

Дудицк Е. Ф., Коне-  
сов У. С., 4 гр.

$T_{tr}$ :

Физ. тверд. мат. (Не-  
мания), 1984, 26, №,  
1168 - 1172.

(ав.  $Pb_3(VO_4)$ ; I)

PbHPO<sub>4</sub>

1985

У З Б2066. Рентгенографическое исследование PbHPO<sub>4</sub> при высоком давлении. A high-pressure X-ray diffraction study of PbHPO<sub>4</sub>. Katrusiak A., Nelles R. J. «9 Eur. Crystallogr. Meet., Torino, 2—6 Sept., 1985. Abstr. Vol. 2». [Торино], 1985, 489 (англ.)

С целью выяснения связи зависимости т-ры Кюри  $T_c$  от давл. и структуры PbHPO<sub>4</sub> (I) проведено рентгенографич. исследование I при высоком давл. с использованием камеры с алмазными наковальнями. I испытывает фазовый переход 2 рода при  $T_c$  310 K. Структура I выше  $T_c$  не центросимметрична, как предполагалось ранее.

С. С. Мешалкин

77  
Fr;

X. 1986, 19, N3

PbHPO<sub>4</sub>

1985

З Б3168. Динамика и статика сегнетоэлектрического фазового перехода в PbHPO<sub>4</sub>. Dynamics and statics of the ferroelectric phase transition in PbHPO<sub>4</sub>. Lockwood D. J., Ohno N., Nelmes R. J., Agend H. «J. Phys. C: Solid State Phys.», 1985, 18, № 19, L559—L565 (англ.)

Изучены КР спектры в PbHPO<sub>4</sub> (I) в интервале т-р 10—320 К ( $T_c \approx 310$  К). Определено, что мода  $B_u$  смягчается от 77 (10 К) до 45 см<sup>-1</sup> (300 К). Т-рная зависимость частоты «мягкой» моды близка к изменениям протонного упорядочения и спонтанной поляризации, но при этом частота не достигает нуля при  $T_c$ . Интенсивности активных  $B_u$  решеточных мод (229 и 513 см<sup>-1</sup>) и  $A_u$  (896 см<sup>-1</sup>) внутр. моды фосфатного иона умень-

П-р;

X. 1986, 19, N 3

шаются, но остаются заметными при  $T > T_c$ . Сравнение со структурными данными показывает, что интенсивности этих линий КР и частота «мягкой» моды согласуются с трой зависимостью перемещения тяжелых атомов. Данные подтверждают, что в I сегнетоэлектрич. и параэлектрич. фазы имеют одинаковую симметрию. Сделано заключение, что фазовый переход включает в себя только упорядочение протонов, вероятно, сопровождающееся нек-рыми аномалиями в движениях фосфатных ионов.

В. Ф. Пономарев

PbHPO<sub>4</sub>(K)

1985

103: 202998n Raman spectrum of ferroelectric lead hydrogen phosphate (PbHPO<sub>4</sub>). Ohno, N.; Lockwood, D. J. (Div. Microstruct. Sci., Natl. Res. Counc. Canada, Ottawa, ON Can. K1A 0R6). *J. Chem. Phys.* 1985, 83(9), 4374-81 (Eng). The Raman spectrum of ferroelec. PbHPO<sub>4</sub> ( $T_c \approx 310$  K) was measured at 10-3200 cm<sup>-1</sup>. Mode assignments were made, which are consistent with the  $m(C_1)$  point-group symmetry of the ferroelec. phase. Correlation field splittings indicate that the distortion of the PO<sub>4</sub> tetrahedron is relatively small. The Raman study confirms the acentric structure of the paraelec. phase as proposed from neutron and x-ray diffraction data. No drastic change in the Raman spectrum occurs at  $T_c$ . A soft mode with  $A'(B_u)$ -type symmetry was obser., which softens from 77 cm<sup>-1</sup> at 10 K to 50 cm<sup>-1</sup> at 300 K. The  $A''(A_u)$ -type tunneling mode was tentatively assigned to a line at 164 cm<sup>-1</sup>. A low-frequency wing appears near 200 K and its intensity grows with increasing temp. reaching a max. at  $\sim 290$  K. The presence of the wing feature indicates the phase transition is of an order-disorder type.

T<sub>2</sub>

⑦ 18

C.A. 1985, 103, N 24



PbHPO<sub>4</sub>(K)

(llk crekmp)

PbMPO<sub>4</sub>

[Om. 23895]

1985

Ohio N., Lockwood D. J.,

(T<sub>tr</sub>, CKP)

J. Chem. Phys., 1985,  
83, N9, 4374-4381.

*Pb<sub>3</sub>P<sub>4</sub>O<sub>13</sub>*

*1986*

У1Б2045. Синтез и кристаллографическое исследование тетраполифосфата свинца Pb<sub>3</sub>P<sub>4</sub>O<sub>13</sub>. Préparation et étude cristallographique du tétrapolyphosphate de plomb: Pb<sub>3</sub>P<sub>4</sub>O<sub>13</sub>. Averbuch-Pouchot M.-T., Durif A. «C. r. Acad. sci.», 1986, sér. 2, 303, № 7, 543—545 (фр.; рез. англ.)

Осуществлен синтез (взаимодействием PbO или PbCO<sub>3</sub> и (NH<sub>4</sub>)<sub>2</sub>HPO<sub>4</sub> при т-рах до 530° С) и рентгено-графич. исследование (методы порошка и Вейсенберга) полифосфата Pb<sub>3</sub>P<sub>4</sub>O<sub>13</sub>. Параметры трикл. решетки: *a* 7,826, *b* 7,338, *c* 10,206 Å,  $\alpha$  104,36°,  $\beta$  101,77°,  $\gamma$  94,31°, *ρ*(выч.) 5,732, *Z* 2, ф. гр. *P1* или *P1̄*. Приведены зна-чения *I*, *d*(*hkl*). Рентгенограммы порошка.

С. В. Соболева

*X. 1987, 19, N1.*

PbHAsO<sub>4</sub>

1986

3 Б2030. Шултенит, PbHAsO<sub>4</sub> и PbHPO<sub>4</sub>: синтез и кристаллические структуры, включая обсуждение симметрии. Schultenit, PbHAsO<sub>4</sub>, und PbHPO<sub>4</sub>: synthesen und Kristallstrukturen nebst einer diskussion zur Symmetrie. Effenberger H., Pertlik F. «ТМРМ Тschermaks miner. und petrogr. Mitt.», 1986, 35, № 3, 157—166 (нем.; рез. англ.)

Соединения PbHAsO<sub>4</sub> — (минерал шултенит (I) и PbHPO<sub>4</sub> (II), являющиеся при коми. т-ре сегнетоэлектриками (ф. гр. *Pc*), претерпевают при повышении т-ры переход в параэл. высокотрные фазы III и IV (с ф. гр. *P2/c*) при т-рах 310 и 315 К, соотв. Осуществлен синтез I и II взаимодействием р-ров Pb(NO<sub>3</sub>)<sub>2</sub> и Na<sub>3</sub>PO<sub>4</sub>·12H<sub>2</sub>O или Na<sub>2</sub>HAsO<sub>4</sub>·7H<sub>2</sub>O при pH ~1 и т-ре 294 К и III и IV взаимодействием р-ра Pb(NO<sub>3</sub>)<sub>2</sub> со смесью PbO и As<sub>2</sub>O<sub>3</sub> или со смесью PbO и конц. H<sub>3</sub>PO<sub>4</sub> при т-ре 510 К и их рентгенографич. исследование (λMo, анизотропный МНК, *R* 0,030 для ~1000 отражений). Пара-

(4)  
✓

Х. 1987, 19, № 3.

метры решеток III  $a$  4,859,  $b$  6,756,  $c$  5,843 Å,  $\beta$  95,40°,  
 $\rho$ (изм.) 6,08; IV 4,6838,  $b$  6,6451,  $c$  5,7817,  $\beta$  97,138°;  
 $Z$  2, ф. гр.  $P2/c$ . Структуры I, II, III и IV содержат  
тетраэдры  $XO_4$  ( $X=As, P$ ), связанные между собой  
Н-связями в цепи, проходящие вдоль оси  $c$ . Между це-  
пями располагаются атомы Pb в 6-кратной координа-  
ции (искаженная тригон. антипризма, Pb—O в I 2,379—  
2,810, в II 2,349—2,859, X—C в I 1,681, 1,701, в II  
1,534, 1,555). Структуры I, II, III и IV отличаются  
лишь характером расположения атомов Н — соотв. разу-  
порядоченным и упорядоченным. С. В. Соболева

Phy.  
Ati

$Pb_2P_2O_7$

1986

19 Б2043. Структура пирофосфата свинца  $Pb_2P_2O_7$  типа дихромата. Structure of dichromate-type lead pyro-phosphate,  $Pb_2P_2O_7$ . Mullica D. F., Perkins H. O., Grossie D. A., Boatner L. A., Sales B. C. «J. Solid State Chem.», 1986, 62, № 3, 371—376 (англ.)

Проведен РСТА ( $\lambda$  Mo, 2637 отражений,  $R$  0,069)  $Pb_2P_2O_7$ . Кристаллы трикл.,  $a$  6,914,  $b$  6,966,  $c$  12,751 Å,  $\alpha$  96,82,  $\beta$  91,14,  $\gamma$  89,64°,  $\rho$  (выч.) 6,384,  $Z$  4, ф. гр.  $P\bar{1}$ . Элементарная ячейка содержит 2 независимые пиро-

Структура

ж. 1986, 19, № 19

фосфатные группы, из к-рых сформированы слои. Расстояния Pb—O(мост.) 1,603—1,647, Pb—O(конц.) 1,488—1,562 Å, углы OPO 103,5—113,9, POP 130—132,1°. Атом Pb окружен 8·(по типу тригон. двухшапочной призмы) или 9 атомами O (по типу одношапочной искаженной квадратной антипризмы), расстояния Pb—O 2,454—3,299, 2,432—3,345 Å. Проведен расчет баланса валентных усилий (Brown I. D. и др., «Acta Crystallogr.», 1976, B32, 1957). Все атомы Pb связываются друг с другом через  $\mu$ -оксомостики: 2 (из 4 независимых атомов Pb) имеют 4 соседних атома Pb, 2 другие—5 соседних атомов Pb на расстояниях 3,96—4,53 Å. Такое расположение Pb может встречаться в свинцово-фосфатных стеклах.

В. Б. Калинин

PbDPO<sub>4</sub>  
PbHPO<sub>4</sub>

1986

105; 32155g Raman spectrum of ferroelectric lead deuterium phosphate (PbDPO<sub>4</sub>): comparison with lead hydrogen phosphate (PbHPO<sub>4</sub>). Ohno, N.; Lockwood, D. J.; Kuok, M. H. (Div. Microstruct. Sci., Natl. Res. Coun., Ottawa, ON Can. K1A 0R6). *J. Chem. Phys.* 1986, 84(12), 6599-603 (Eng). The Raman spectrum of ferroelec. PbDPO<sub>4</sub> ( $T_c \approx 450$  K) was measured at 10-484 K at 8-3000 cm<sup>-1</sup>. Mode assignments were made by comparison with similar Raman measurements on PbHPO<sub>4</sub> ( $T_c \approx 310$  K). The lattice modes and PO<sub>4</sub> internal modes are scarcely affected by the isotope change, although the high-frequency H modes do show the expected shift to lower frequency in the D compd. The overall similarities in the spectra of the 2 compds. both above and below  $T_c$  indicate that PbDPO<sub>4</sub> has an acentric crystal structure above  $T_c$ , as was recently discovered for PbHPO<sub>4</sub>. The Raman data indicate the phase transition in PbDPO<sub>4</sub> and PbHPO<sub>4</sub> are of the order-disorder type.

III  
12;

C.A. 1986, 105, N 4

PbPD<sub>3</sub>(2) Седов Г. Г., 1986

Исследование структуры и  
энергетики молекул.

ΔfH; Мензбужский сборник науч-  
ных трудов Ивановского  
химико-технического  
института, 21 выпуск, 1986,  
132-140. (есть в картотеке)

PbHPO<sub>4</sub>

1986

5 Б3130. Исследование методом ЯМР <sup>207</sup>Pb сегнетоэлектрического фазового превращения в PbHPO<sub>4</sub>. <sup>207</sup>Pb NMR study of the ferroelectric phase transition in PbHPO<sub>4</sub>. Торић В., Haeberlen U., Blinc R., Arend H. «J. Phys. C: Solid State Phys.», 1986, 19, № 20, 3925—3932 (англ.)

Методом ЯМР <sup>207</sup>Pb исследована роль тяжелых атомов в процессе сегнетоэл. фазового превращения PbHPO<sub>4</sub> ( $T_c = 37^\circ\text{C}$ ). Определены тензоры хим. сдвига ядер <sup>207</sup>Pb в интервале  $\text{t-p}$   $39,3 - 34,6^\circ\text{C}$  при охлаждении. Т-рная зависимость тензоров ниже  $T_c$  коррелирует с протонным упорядочением, что указывает на обусловленность смешения ядер Pb именно данным процессом, и согласуется с изменением симметрии  $P2/c \rightarrow Pc$  в ходе превращения. Независимость тензоров от  $\text{t-ры}$  выше  $T_c$  и тот факт, что параэл. тензор является среди величиной двух сегнетоэл. тензоров позволяет, в пределах погрешности эксперимента, рассматривать превращение как разупорядочение, подобное описываемым теорией средн. поля.

В. Е. Смирнов

Х. 1987, 19, N.5

PbHPO<sub>4</sub>

1987

7 E696. Дилатометрическое исследование PbHPO<sub>4</sub>. Dilatometric investigations on PbHPO<sub>4</sub>. Cahrigiz Mojtaba, Steinitz M. O. «J. Phys. C: Solid State Phys.», 1987, 20, № 1, L1—L5 (англ.)

На монокристаллах соединения с помощью емкостного дилатометра с чувствительностью  $\sim 10^{-10}$  м в интервале т-р 290—320 К измерено термич. расширение вдоль трех кристаллографич. осей. Вблизи 309 К обнаружен эффект, обусловленный фазовым переходом второго рода. Значения ТКЛР вдоль осей *a* и *b* изменяются при переходе на  $7,8 \cdot 10^{-6}$  и  $4,4 \cdot 10^{-5}$  град<sup>-1</sup> соответственно и практически не изменяются вдоль оси *c*. Небольшое изменение относит. удлинения вдоль оси *c* зафиксировано вблизи 303 К. Предполагается, что этот эффект связан с упорядочением протонов, тогда как аномалии при 309 К вызваны незначительными смещениями тяжелых ионов. Полученные результаты сопоставлены с данными др. исследований PbHPO<sub>4</sub> и его дейтероаналога.

Б. Г. Алапин

T<sub>tr</sub>

оф. 1987, 18, № 7

PbHPO<sub>4</sub>

1987

15 Б3132. Дилатометрические исследования PbHPO<sub>4</sub>. Dilatometric investigations on PbHPO<sub>4</sub>. Kahrgizi M. M. jtaba, Steinitz M. O. «J. Phys. C: Solid State Phys.», 1987, 20, № 1, L1—L5 (англ.)

Представлены результаты дилатометрич. исследований монокристаллов PbHPO<sub>4</sub> в интервале 290—320 К. Измерения проводились вдоль кристаллографич. осей *a*, *b* и *c*. Определены особенности изменения коэф. термич. расширения (*α*) в окрестностях фазового превращения 2-го рода при 309 К. Определена величина  $\Delta\alpha = \alpha^+ - \alpha^-$ ,  $\alpha^+$  и  $\alpha^-$  — коэф. выше и ниже т-ры превращения соотв., равная  $7,8 \cdot 10^{-6}$ ,  $4,4 \cdot 10^{-5}$  и  $\sim 0$  вдоль, соотв., осей *a*, *b* и *c*. В окрестностях 303 К обнаружена небольшая аномалия *α*, проявляющаяся вдоль всех осей, наличие к-рой объясняется разницей между т-рными зависимостями протонного упорядочения и структурными смещениями тяжелых ионов. Исходя из полученных данных, сделан вывод о том, что превращение при 309 К сопровождается небольшими, но оказывающими существенное влияние, смещениями тяжелых ионов, что согласуется с лит. данными.

В. Е. Смирнов

T<sub>tr</sub>:

X. 1987, 19, N15

PbPSe<sub>3</sub>

1987

11 Б2029. Структура PbPSe<sub>3</sub>. Structure of PbPSe<sub>3</sub>.  
Yun H., Ibers J. A. «Acta crystallogr.», 1987, C43,  
№ 10, 2002—2004 (англ.)

Выполнен РСТА ( $\lambda$ Mo, анизотропный МНК по 1301 отражениям до  $R = 0,070$ ) соединения PbPSe<sub>3</sub> (I). Кристаллы I монокл.  $a = 6,897$ ,  $b = 7,642$ ,  $c = 9,696$  Å,  $\beta = 91,51^\circ$ ,  $\rho$  (выч.)  $\overline{6,174}$ ,  $Z = 4$ , ф. гр.  $P2_1/n$ . Проведенный ранее «Zeischr. Naturforsch.», 1984, A39, 357—361) РСТА I ошибочен. В I ионы Pb<sup>2+</sup> находятся вискаженной тригон. призме из атомов Se, Pb—Se 3,096—3,298 Å, выделен ион P<sub>2</sub>Se<sub>6</sub><sup>4-</sup>. Обсуждено преимущество предложенной модели I перед ошибочной. С. С. Мешалкин

структура

ж. 1988, 19, № 11

PbHPO<sub>4</sub>

1988

У 14 Б3136. Динамика сегнетоэлектрического фазового превращения в PbHPO<sub>4</sub> и PbDPO<sub>4</sub>. Dynamics of the ferroelectric transition in PbHPO<sub>4</sub> and PbDPO<sub>4</sub>/ Ohno N., Lockwood D. J. // 1st Eur. Conf. Appl. Polar Dielec. and Int. Symp. Appl. Ferroelec., Zürich, Aug. 29 — Sept. 1, 1988: ECAPD — 1 ISAF' 88: Abstr. Booklet.— [Zürich], 1988.— С. 238.— Англ.

Рассмотрены результаты обширных исследований методом спектроскопии КР динамики сегнетоэл. превращений в PbHPO<sub>4</sub> (I) и PbDPO<sub>4</sub> (II). Получены качественно сходные в ч. решеточных колебаний и внутр. мод. PO<sub>4</sub> данные для обоих соединений. При т-рах превращений ( $T_c$ ), равных 310 К для I и 452 для II, обнаружены анаомалии частот, уширений и интенсивностей различных мод. Показано, что крист. структура выше

(T<sub>c</sub>)

Х. 1989, N 14

$T_c$  остается ацентр. В обл. низких частот динамич. характеристики I и II отличаются. Зафиксировано появление мягкой моды и напоминающей крыло аномалии т-рной зависимости спектра КР I. Последняя вероятно обусловлена некой релаксац. модой и не связана с влиянием туннелирующей моды. Сделан вывод о том, что движущей силой превращений в I и II является протонное упорядочение.

В. Е. Смирнов

$Pb_3(PO_4)_2$

1989

11 Б3168. Влияние скорости изменения температуры на процессы перестройки доменной структуры и фазовый переход чистого сегнетоэластика ортофосфата свинца / Большакова Н. Н., Некрасова Г. М., Рудяк В. М. // Свойства сегнетоэлектриков.— Минск, 1989.— С. 28—34.— Рус.

В диапазоне т-р 20—180° С поляризационно-оптич. методом и методом теплового эффекта Баркгаузена исследованы процессы перестройки доменной структуры чистого сегнетоэластика  $Pb_3(PO_4)_2$  при нагревании в отсутствие внешних механич. напряжений. В сегнетоэластич. фазе, имеющей три типа доменов, разделенных двумя видами границ, существенных изменений в доменной структуре вплоть 170° С (нагрев со скоростью 0,1 К/сек) не выявлено. При 177 в образце возникает фазовая граница, движущаяся по Пв образца, и при 180° С кристалл переходит в паразластич. фазу. Этой т-рной обл. соотв-ет наиболее интенсивное следование скачков деформации. Увеличение скорости нагрева до 0,6 К/сек сдвигает этот переход до 173° С.

Б. А. Ступников

(Пв)

X. 1989, № 11

$Pb_3(PO_4)_2$

1989

4 БЗ095. Обнаружение несоразмерного предмартенситного превращения в  $Pb_3(PO_4)_2$ . Evidence for an incommensurate premartensitic behaviour in  $Pb_3(PO_4)_2$  / Kiat J. M., Calvarin G. // Phase Transit. B.— 1989.— 14, № 1—4.— С. 209—216.— Англ.

Фазовое превращение в сегнетоэлектрике  $Pb_3(PO_4)_2$  (I) исследовано дифрактометрич. методом на монокристалле I. Обнаружен фазовый переход I рода при 180° С. Анализ интенсивности сверхструктурных линий указывает на образование т. наз. предмартенситной фазы подобно превращениям в нек-рых мет. сплавах. Фазовый переход в I описывается моделью Ямада, разработанной для мартенситных превращений в сплавах.

Л. А. Резницкий

Х. 1990, № 4

$Pb_3(PO_4)_2$

1989

2 Е631. Доказательство несоразмерного предмар-  
тэнситного поведения в  $Pb_3(PO_4)_2$ . Evidence for an in-  
commensurate premartensitic behaviour in  $Pb_3(PO_4)_2$  /  
Kiat J. M., Calvarin G. // Phase Transit. В.— 1989.—  
14, № 1—4.— С. 209—216.— Англ. Место хранения  
ГПНТБ СССР

Рентгенографически (Си-излучение) изучены струк-  
турные изменения, происходящие вблизи точки фазо-  
вого перехода в монокристаллах соединения  $Pb_3(PO_4)_2$   
при изменении т-ры. На температурной зависимости  
межплоскостных расстояний для сверхструктурных от-  
ражений (330), (350) и (910) обнаружены аномалии  
вблизи критич. т-ры фазового перехода  $T_k$ . Выше  $T_k$   
дифракционные пики смещены из соразмерных полож-  
жений, и это смещение увеличивается при повышении  
т-ры. При т-ре  $> 240^\circ\text{C}$  интенсивность пиков становит-  
ся очень низкой. В точке фазового перехода не на-

( $T_k$ )

оф. 1990, № 2

блюдается разрыв на температурной зависимости межплоскостного расстояния, хотя переход I рода. Сделан вывод об образовании несоразмерной фазы выше  $T_h$  с параметром несоразмерности по оси  $b^*$   $\delta_2 = 5 \cdot 10^{-3}$  при  $210^\circ\text{C}$  и  $8,5 \cdot 10^{-3}$  при  $240^\circ\text{C}$ . Величина  $\delta_2$  зависит от  $hkl$ . Обсуждены природа аномального поведения межплоскостного расстояния вблизи  $T_h$  и несоразмерного состояния в данном соединении. В. Л.

PbHPO<sub>4</sub>

1989

1 24 Б3191. Исследование PbHPO<sub>4</sub> в системе PbO—P<sub>2</sub>O<sub>5</sub>—H<sub>2</sub>O при 35, 40, 45 и 50° С. Studies on PbHPO<sub>4</sub> in the system PbO—P<sub>2</sub>O<sub>5</sub>—H<sub>2</sub>O at 35, 40, 45 and 50°C / Mahapatra P. P., Mishra B. // 11 Int. Conf. Phosphorus Chem., Tallinn, July 3—7, 1989: Abstr. Post. Vol 2.— Tallinn, 1989.— С. 30.— Англ.

Синтезирован PbHPO<sub>4</sub> (I) в водн. среде и охарактеризован с помощью РФА и ИК-спектроскопии. Параметры монокл. I: *a* 5,772; *b* 6,635; *c* 4,672;  $\beta$  97,21°;  $\rho$  5,624 г/см<sup>3</sup>. Определена изотерма р-римости I при pH 3,5—7,2 и т-рах 35—50° С. I обладает отриц. термич. коэф. р-римости. Рассчитаны термодинамич. ф-ции р-рения I и константы ассоциации. По резюме

Х. 1989, № 24

$Pb_3P_2S_8$

1989

(II)

III-13179a Phase equilibria in the lead-phosphorus-sulfur-selenium systems. Prits, I. P.; Potorii, M. V.; Voroshilov, Yu. V. (Uzhgorod. Gos. Univ., Uzhgorod, USSR). Ukr. Khim. Zh. (Russ. Ed.) 1989, 55(2), 135-7 (Russ.). Phase diagrams were prep'd. for the systems Pb-P-S and Pb-P-Se at 770 K. Three quasibinary polythermal sections,  $PbS-P_2S_4$ ,  $PbS-P_4S_{10}$  and  $PbSe-P_2Se_4$  are defined. In the Pb-P-S system, two compds. are formed:  $Pb_2P_2S_6$  and  $Pb_3P_2S_8$ ; only one,  $Pb_2P_2Se_3$  occurs in the Pb-P-Se system. The compd.  $Pb_3P_2S_8$  is formed within the  $PbS-P_4S_{10}$  quasibinary system. It m. incongruently at 928 K. It crystallizes in the cubic system with a 10.927(2) Å. The compd.  $Pb_2P_2S_6$  occurs in the  $PbS-P_2S_4$  quasibinary system and m. congruently at 1193 K. With PbS it forms a eutectic which crystallizes at 1055 K. Its lattice parameters are given. The compd.  $Pb_2P_2Se_3$  in the  $PbS-P_2Se_4$  system forms an eutectic with PbS for ~26 mol.%  $P_2Se_4$ , which m. at 1030 K. The compd. is monoclinic and its crystal lattice parameters are given.

C.A. 1989, III, N 2

Pb<sub>3</sub>P<sub>2</sub>S<sub>8</sub>

1989

14 Б3085. Фазовые равновесия в системах Pb—P—S(Se) / Приц И. П., Поторий М. В., Ворошилов Ю. В. // Укр. хим. ж.— 1989.— 55, № 2.— С. 135—137.— Рис.

Методами РФА и ДТА исследованы фазовые равновесия в системах Pb—P—S(Se), а также изучены диаграммы состояния полигермич. разрезов тройных систем, в к-рых существуют тройные фазы. Установлено, что в системе Pb—P—S существуют соединения Pb<sub>3</sub>P<sub>2</sub>S<sub>8</sub> (кубич. примитивная ячейка с периодом  $a=10,927(2)$  Å, образуется по перитектич. р-ции при 928 К) и PbP<sub>2</sub>S<sub>6</sub> (монокл. решетка, параметры:  $a=6,57(2)$ ,  $b=7,44(1)$ ;  $c=11,56(2)$  Å;  $\beta=126,2(1)^\circ$ , конгруэнтно плавится при 1193 К), а в системе Pb—P—Se — только PbP<sub>2</sub>Se<sub>6</sub> (монокл. решетка, параметры:  $a=6,91(1)$ ;  $b=7,66(1)$ ;  $c=12,10(1)$  Å;  $\beta=126,24(7)^\circ$ , конгруэнтно плавится при 1057 К).

Автореферат

ПМ

(f1) X

X. 1989, N/4

1989

Pb<sub>6</sub>P<sub>2</sub>Se<sub>6</sub> Трунє У. І.,  
Поморукій М. В.

Tm; Укр. худ. зб. 1989. 55,  
№. С. 135-137.

(ав. Pb<sub>3</sub>P<sub>2</sub>Se; 1)

1989

PbHPO<sub>4</sub>

17 Б2032. Критические заметки об определении кристаллической структуры фосфата свинца. Critical remarks about lead phosphate crystal structure determination / Robert M. C., Lefaucheux F. // J. Cryst. Growth. — 1989. — 94, № 3. — С. 814—815. — Англ.

Подвергнуты критике «новые кристаллографич. данные» (G. R. Pandya и др. «Cryst. Res. Technol.», 1986, 21, 30, C. C. Desai и др. «J. Cryst. Growth», 1988, 91, 126), полученные на монокристаллах PbHPO<sub>4</sub> (I), выращенных из геля при взаимодействии H<sub>3</sub>PO<sub>4</sub> и Pb(NO<sub>3</sub>)<sub>2</sub>. При выращивании монокристаллов из геля не достигается гомогенизация системы и возникает возможность роста различных фаз, поэтому нет серьезных причин для пересмотра кристаллографич. данных для I, полученных ранее («J. Horváth Appl. Cryst.», 1983, 16, 623) тем более, что данные хим. анализа I не соответствуют стехиометрич. составу; а ф. гр. сегнетоэл. фазы центросимметрична. Сделан вывод о необходимости более тщат. описания кристаллов, полученных из геля.

В. Б. Калинин

Структура

ж. 1989, N 17

PbDPO<sub>4</sub>

1990

16 Б2072. Нейтронографическое исследование в условиях высокого давления фазового перехода типа KH<sub>2</sub>PO<sub>4</sub>. High pressure neutron diffraction studies of KH<sub>2</sub>PO<sub>4</sub>-type phase transitions: [Pap.] 15th Congr. Int. Union Crystallogr., Bordeaux, 19—28 July, 1990 / Piltz R. O., McMahon M. I., Wright N. G., Nelmes R. J. // Acta crystallogr. A.— 1990.— 46, Suppl.— С. 356.— Англ.

(T<sub>c</sub>)

Монокристальное нейтронографич. исследование соединений H<sub>2</sub>C<sub>4</sub>O<sub>4</sub>, NH<sub>4</sub>H<sub>2</sub>PO<sub>4</sub>, CsH<sub>2</sub>PO<sub>4</sub>, PbHPO<sub>4</sub> и их дегидрированных аналогов при давл. до 1,9 ГПа показано, что т-ра характерного для них фазового перехода типа KH<sub>2</sub>PO<sub>4</sub>, связанная с порядком-беспорядком в распределении протонов и сопровождаемая изменением Н-связей, существенно падает с ростом давл. У PbDPO<sub>4</sub> при атмосферном давл. т-ра перехода 452 К, а при давл. 1,4 ГПа она понижается до 315 К. С. В. Соболева

X. 1991, N 16

$Pb_8P_2O_{13}$  ugp.

1990

Podsiadło Halina.

Pr. na rzece AE Wroclawiu  
(Tm) 1990. N 531, C. 1-109.

(crys.  $Pb_5P_2O_4$ ; I)

1990

 $Pb_{10}(PO_4)_6F_2$ 

6 Б3167. Полиморфные превращения в бинарной системе  $Pb_{10}(PO_4)_6F_2$ — $Ca_{10}(PO_4)_6F_2$ . Polymorphic transitions in the binary system lead fluogapatite [ $Pb_{10}(PO_4)_6F_2$ ] — calcium fluogapatite [ $Ca_{10}(PO_4)_6F_2$ ] / Podsiadlo H. // J. Therm. Anal.— 1990.— 36, № 2.— С. 569—575.— Англ.; рез. нем.

В диапазоне т-р 400—1710°С методами ДТА, оптич. микроскопии, химанализа, РФА и дилатометрии исследовано фазовое поведение бинарной системы  $Pb_{10}(PO_4)_6F_2$  (I) —  $Ca_{10}(PO_4)_6F_2$  (II). I конгруэнтно плавится при 1098, II при 1710°С. В чистом I (при комн. т-ре это гексагон. фаза с  $a = 9,75$ ,  $c = 7,30\text{ \AA}$ ) обнаружено четыре полиморфных перехода при 970, 800, 620 и 450°С. Эти переходы наблюдались во всей композиц. обл. системы (до 20% I), что подтверждает полную смешиваемость I и II (т. е. образование непрерывного ряда тв. р-ров) и предполагает существование соотв. переходов в II (они обнаружены при 1060, 800, 620 и 520°С). Переходы, подтверждаемые дилатометрич. исследованиями, полностью обратимы и имеют характер превращений 2-го рода, без изменения крист. структуры.

B. A. Ступников

 $T_m, T_{t2}$ 

(4)

X.1991, N6

*Pb<sub>10</sub>(PO<sub>4</sub>)<sub>6</sub>Cl<sub>2</sub>*

*1990*

10 Б3094. Полиморфные превращения в бинарной системе хлорапатит свинца  $Pb_{10}(PO_4)_6Cl_2$  — фторапатит кальция  $Ca_{10}(PO_4)_6F_2$ . Polymorphic transitions in the binary system lead chlorapatite  $Pb_{10}(PO_4)_6Cl_2$  — calcium fluogapatite  $Ca_{10}(PO_4)_6F_2$  / Podsiadlo H. // J. Therm. Anal.— 1990.— 36, № 3.— С. 1205—1211.— Англ.; рез. нем.

Методами ДТА, ТГА, оптич., микроскопии, РФА и дилатометрии исследовано фазовое поведение системы  $Pb_{10}(PO_4)_6Cl_2$  (I) —  $Ca_{10}(PO_4)_6F_2$  (II). Чистый I плавится конгруэнтно при 1156, а II при 1710° С, поэтому система в виде расплава исследовалась только в обл. до 30% II, а в более богатой II обл. образцы получались методами спекания в атм. Аг. Обнаружено существование непрерывного ряда тв. р-ров с пост. *a* изменяющейся от 9,99 до 9,39 Å и с пост. *c* изменяющейся от 7,34 до 6,89 Å. В дополнении к известным фазо-

(4) ~~10~~

*X. 1991, N° 10*

вым переходам в I при 990, 810, 650 и 490° С обнаружен новый неизвестный полиморфный переход при 1080° С и новый переход в II при 1240° С. Методом дилатометрии в образце с 20 мол. % I и 80 мол. % II переходы идут при 450—520 (пик при 500), 580—650 (пик при 600), 760—820 (пик при 800), 940—1030 (пик при 980) и при 1150—1220° С (пик при 1200° С).

В. А. Ступников



$Pb(N_3)_2$  Finch A., Fardnes P.J. 1991  
et al.,

Proc. Int. Pyrotech. Seminar  
(Iph) 1991, 17th (Vol. I), 409.

(all.  $NalN_3$ ;  I)

$Pb_3(PO_4)_2$

1992

1 E597. Повторное исследование сегнетоупрого фазового перехода в  $Pb_3(PO_4)_2$ . Reinvestigation of the ferroelastic phase transition of lead phosphate ( $Pb_3(PO_4)_2$ ) / Kiat J. M., Yamada Y., Chevrier G., Uesu Y., Boutrouille P., Calvarin G. // J. Phys.: Condens. Matter. — 1992. — 4, № 21. — С. 4915—4922. — Англ.

Методами нейтронографии и спектроскопич. анализа вторичных оптич. гармоник исследована симметрия различных фаз, реализующихся в сегнетоупрого  $Pb_3(PO_4)_2$ . Результаты исследования свидетельствуют о том, что при сегнетоупрого переходе происходит изменение симметрии  $C2 \rightarrow R3\bar{m}$ , а не  $C2/c \rightarrow R3\bar{m}$  ( $C2$  — центросимметричная фаза,  $C2/c$  — моноклинная,  $R3\bar{m}$  — ромбоздническая). Т-ра фазового перехода  $T_c = 180$  °С (453К). Переход от центросимметричной фазы  $C2$  к нецентросимметричной  $C2/c$  является следствием увеличения сме-

( $T_c$ )

ф. 1993, № 1

щений атомов O, главным образом, в тетраэдрах  $\text{PO}_4$  в  $\text{Pb}_3(\text{PO}_4)_2$ , либо в  $\text{VO}_4$  в соединениях  $\text{Pb}_{3-x}\text{V}_{2(1-x)}\text{O}_8$ , по сравнению с их смещениями в фазах C2. Смещение основных атомов Pb при  $T_c$  происходит в направлениях, параллельных слоям атомов кислорода. Фосфаты Pb не являются чистыми сегнетоупругими соединениями, их сегнетоупругость может быть связана не просто со смещениями атомов, но и с другими физич. свойствами, в частности с электронными состояниями.

*Pb<sub>3</sub>(PO<sub>4</sub>)<sub>2</sub>*

*1992*

20 Б3089. Повторное исследование сегнетоэластического фазового перехода фосфата свинца  $\text{Pb}_3(\text{PO}_4)_2$ . Reinvestigation of the ferroelastic phase transition of lead phosphate  $(\text{Pb}_3(\text{PO}_4)_2)$  /Kiat J. M., Yamada Y., Chevrier G., Uesu Y., Boutrouille P., Calvarin G. //J. Phys.: Condens. Mater. —1992.—4 № 21.—С. 4915—4922.—Англ.

В диапазоне т-р 20—180° С методом нейтронографии (четырехкруговой гониометр, трехосный спектрометр,  $\lambda=0,0831$  нм) исследована природа перехода монокристаллов  $\text{Pb}(\text{PO}_4)_2$  из паразластич. высокот-рной ромбоэдрич. фазы с пр. гр. R3̄m в низкот-рную сегнетоэластич. монокл. нецентросимметричную фазу с пр. гр. C2. Такая симметрия не совпадает с ранее найденной (лит. данные) методом рентгенографии симметрии C2/c. Для точного установления нецентросимметричности структуры монокл. фазы использован оптич. метод генерации вторичной гармоники. Параметры монокл. C2-фазы: а 1,374(5),  $b$  5,66(1),  $c$  9,39(3),  $\beta$  102,4(3)°. Наблюдаются только небольшие искажения тетраэдров  $\text{PO}_4$ . Нецентросимметричность монокл. фазы приводит к возможности спонтанной поляризации.

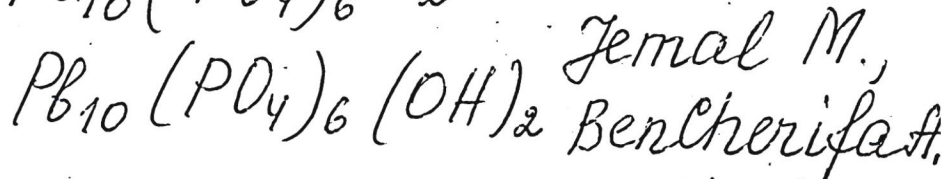
В. А. Ступников

*(T<sub>2</sub>)*

*X. 1992, N 20.*



1994



Jemal M.

Bencherif et al.

$\Delta H_f$  13th IUPAC Conf. Chem.

Thermodyn.: Int. Meet. 25

th AFCA T Conf., Clermont  
- Ferrand, July 17-22, 1994.

Programme and Abstr. [Ller-  
mont - Ferrand], 1994. c. 27.

( $\text{Ca}_{10}(\text{PO}_4)_6\text{F}_2$ ;  $\underline{\text{T}}$ )

F: Pb<sub>10</sub>(PO<sub>4</sub>)<sub>6</sub>(OH)<sub>2</sub>

P: 1

2Б311. Стандартные энталпии образования и смешения гидрокси- и фторапатитов. Standard enthalpies of formation and mixing of hydroxyand fluorapatites : [Pap.] 13th Int. Conf. Chem. Thermodyn. (IUPAC), Clermont-Ferrand, 17-22 July, 1994 / Jemal M., Ben Cherifa A., Khattech I., Ntahomvukiye I. // Thermochim. acta. - 1995. - 259, N 1. - С. 13-21. - Англ.

В изопериболическом калориметре измерены энталпии р-рения гидрокси- и фторапатитов в р-ре азотной к-ты. С использованием этих результатов и некоторых вспомогат. данных определены станд. энталпии образования исследованных апатитов. Получены следующие значения станд. энталпий образования (в кДж/моль) при 298,15К:

Ca[10](PO <sub>4</sub> ) <sub>6</sub> (OH) <sub>2</sub>	-13,305;	Sr[10](PO <sub>4</sub> ) <sub>6</sub> (OH) <sub>2</sub>	-13,373;
Cd[10](PO <sub>4</sub> ) <sub>6</sub> (OH) <sub>2</sub>	-8,648;	Pb[10](PO <sub>4</sub> ) <sub>6</sub> (OH) <sub>2</sub>	-8,261;
Ca[10](PO <sub>4</sub> ) <sub>6</sub> F <sub>2</sub>	-13,545;	Sr[10](PO <sub>4</sub> ) <sub>6</sub> F <sub>2</sub>	-13,604;
Cd[10](PO <sub>4</sub> ) <sub>6</sub> F <sub>2</sub>	-8,795;	Pb[10](PO <sub>4</sub> ) <sub>6</sub> F <sub>2</sub>	-8,529.

Приведены также параметры крист. решетки и радиусы ионов. Кратко обсуждены энталпии смешения тв. р-ров гидроксиапатитов.. DHf.

1995

X. 1996, № 2

$Pb_{10}(PO_4)_6(OH)_2$

1995

123: 124364z Synthesis and determination of the standard enthalpy of formation of lead hydroxyapatite. Ntahomvukiye, I.; Khattech, I.; Jemal, M. (Dep. Chimie, Fac. Sci. Tunis, Tunis, Tunisia 1060). *Ann. Chim. (Paris)* 1995, 20(1), 1-8 (Fr). Lead hydroxyapatite [ $Pb_{10}(PO_4)_6(OH)_2$  or PbHAp] was prep'd. by hydrolysis of lead monoacid phosphate, and by double substitution of diammonium phosphate and lead nitrate. The std. enthalpy of formation of the product was deduced from calorimetric measurements. This value is:  $\Delta_f H^\circ(298K) = -8258,4$  kJ/mol for hydrolyzed lead apatite and  $-8261,4$  kJ/mol for pptd. lead apatite.

( $\Delta_f H^\circ_{298}$ )

C.A. 1995, 123, n°10

PbP<sub>3</sub>O<sub>4</sub> Semenov Bernas, Lopatin Sergey  
1996

Thermodyn. Properties of the  
baseous phosphates of Bernari-  
um, Tin and Lead determined  
( $\Delta H_f$ ,  $\Delta P_f$ ) by the high temperature  
mass spectrometry method.

14<sup>th</sup> IUPAC Conference on  
Thermodyn. Abstracts,  
Osaka, 1996, 583

$Pb_3(PO_4)_2$

2000

F:  $Pb_3(PO_4)_2$

P: 1

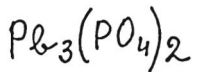
2Б2189. Кристаллическая структура нового фосфата свинца  
 $Pb_3[PO_4]_2$  / Гурбанова О. А., Белоконева Е. Л.,  
Димитрова О. В. // 2-я ац. кристаллохи конф.,  
Черноголовка, 22-26 мая, 2000 : Тез. докл. -  
Черноголовка, 2000. 74-75. - Рус.

Кристаллы  $Pb_3[PO_4]_2$  получены гидротермальным методом при температуре 250°C и давлении 100 атм. в системе  $NH_4(OH)-PbCO_3-B_2O_3-H_3PO_4$ . Расшифровка структуры выполнена методом тяжелого атома без предварительно знания химической формулы. Параметры нашего соединения  $a = 10,905$ ,  $b = 8,88$ ,  $c = 8,870$  Å,  $\Phi$ . гр.  $B112/b$ . Структура  $Pb_3[PO_4]_2$  представляет собой объединенные в каркас слои из  $Pb(1)$  и  $Pb(2)$  полизэдротов.

$T_{tr}$

Полиэдры Pb(1), КЧ может быть описан как сильно искаженный октаэдр или тригональная антиприз. Полиэдры Pb(2), КЧ=6+1, весьма неправильны и сильно уплощены. Изолированные [PO<sub>4</sub>]-тетраэдры закручены вокруг винтовой оси 2[1]. а сегодняшний день известно 3 соединения, имеющих одинаковую химическую формулу с исследованы нами: Pb[3][PO<sub>4</sub>][2]. Первое соединение Pb[3][PO<sub>4</sub>][2] имеет параметры 13,810, b 5,710, c 9,310 Å, 'гамма' 102,4р, ф. гр. C12/c1, второе является высокотемпературной модификацией первого (температура фазового перехода 180рС). Его пространственная группа R3m(H), параметры a 5,560, c 20,350 Å оно является синтетическим аналогом витлокита. Третье соединение апатитоподобный синтетический Pb[3][PO<sub>4</sub>][2], не содержащим ионов-компенсаторов в канале, его параметры a 9,826, c 7,357 Å, ф. гр. P6[3]/m.

2000.



F: Pb<sub>3</sub>(PO<sub>4</sub>)<sub>2</sub>

P: 1

Структура,  
 $t_2$

ЗБ257. Новая кристаллическая структура  
Pb[3](PO[4])[2] и ее сопоставление формульными  
аналогами / Белоконева Е. Л., Гурбанова О. А.,  
димитрова О. В Ж. неорган. химии. - 2000. - 45, 9.  
- С. 1448-1452. - Рус.

В гидротермальных условиях синтезирована новая  
полиморфная модификация Pb[3](PO[4])[2]. Без  
предварительного знания химической формулы  
определен кристаллическая структура и проведено ее  
сопоставление со структурами формульных аналогов.